

第2章 相互結合網

2.1 相互結合網の分類

2.1.1 分類項目

(1) 制御方式

集中制御方式

分散制御方式

(2) 交換方式

パケット交換方式 (packet switching) :

手紙による通信

- ・蓄積交換 (store and forward)
- ・ワームホール (worm hole)
- ・バーチャルカットスルー
(virtual cut through)

回線交換方式 (circuit switching) :

電話による通信

(3) トポロジ

静的網：直接結合 (direct connection) 網

完全網を規則的に簡略化

動的網：間接結合 (Indirect Connection) 網

クロスバスイッチを規則的に簡略化

2.1.2評価項目

- (1) 距離 (distance)
- (2) 次数 (degree)
- (3) 総スイッチ数 / 総リンク数
- (4) 拡張性 (scalability)
- (5) 3次元実装の容易性
- (6) 耐故障性 (fault tolerance)
- (7) 多様な網の埋込み能力 (embedability)

静的網の場合：

多数の他の網の埋込みが可能である必要
並列処理の応用プログラム
論理構造に適合した特定のトポロジ上で
最も高速に実行
(8) ルーティングの容易性

2.1.3 基本通信パターン

送信ノード番号Xの2進表示: (a_n, \dots, a_2, a_1)

受信ノード番号Yの2進表示: (b_n, \dots, b_2, b_1)

通信パターンの数(受信ノードにダブリなし): $N!$

送受信ノードの対応関係: ひとつの置換

送信

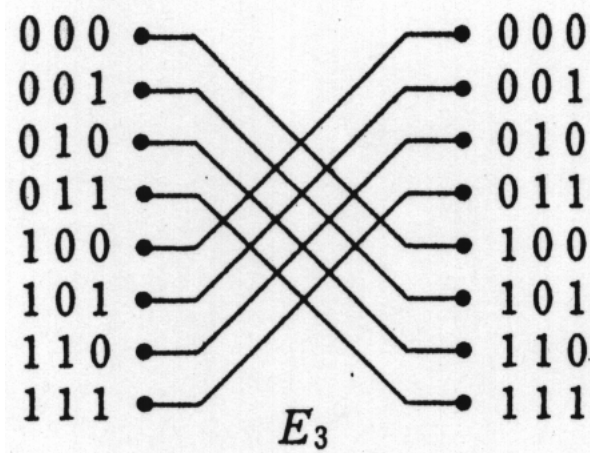
受信

$(1, 2, 3, 4) <-> (2, 3, 4, 1)$

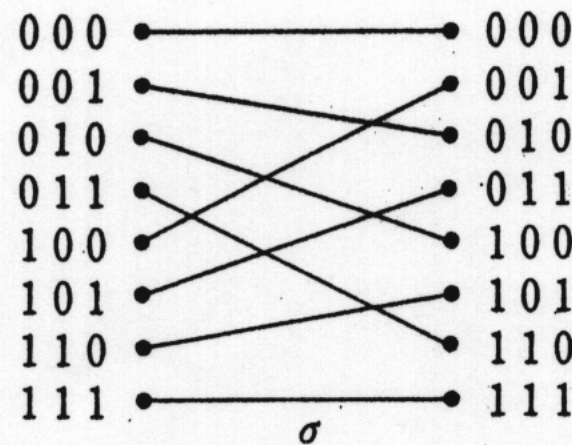
(1) エクスチェンジ置換

$y = E_i(x) = (a_n, \dots, \sim a_i, \dots, a_1)$

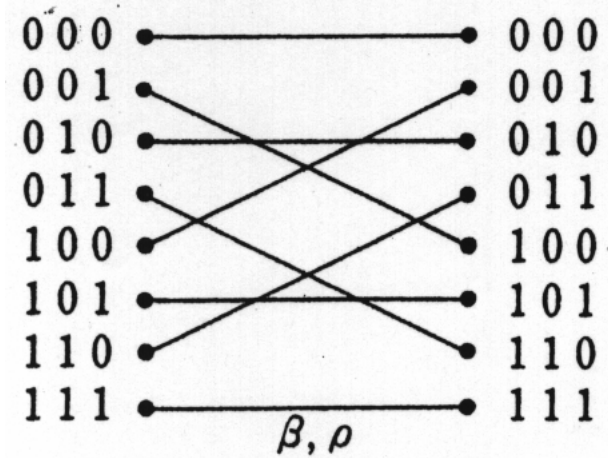
$\sim a_i$ は a_i の否定を表す。



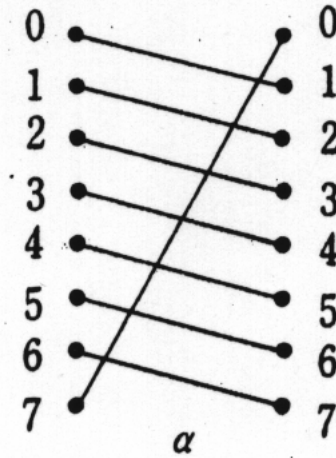
(a) エクスチェンジ置換



(b) シャフル置換



(c) バタフライ置換と
ビット逆転置換



(d) シフト置換

(2) シャフル置換

$$y = \sigma(x) = (a_{n-1}, a_{n-2}, \dots, a_1, a_n)$$

k - サブシャフル σ_k 、

k - スーパシャフル σ^k

$$y = \sigma_k(x) = (a_n, \dots, a_{k+1}, a_{k-1}, \dots, a_1, a_k)$$

$$y = \sigma^k(x) = (a_{n-1}, \dots, a_{n-k+1}, a_n, a_{n-k}, \dots, a_1)$$

(3) バタフライ置換

$$y = \beta(x) = (a_1, a_{n-1}, \dots, a_2, a_n)$$

k - サブバタフライ β_k 、

k - スーパバタフライ

$$y = \beta_k(x) = (a_n, \dots, a_{k+1}, a_1, a_{k-1}, \dots, a_2, a_k)$$

$$y = \beta^k(x) = (a_{n-k+1}, a_{n-k}, \dots, a_{n-k+2}, a_n, a_{n-k}, \dots, a_1)$$

(4) ビット逆転置換

$$y = \rho(x) = (a_1, a_2, \dots, a_n)$$

k - サブビット逆転置換

k - スーパビット逆転置換

$$y = \rho_k(x) = (a_n, \dots, a_{k+1}, a_1, a_2, \dots, a_{k-1}, a_k)$$

$$y = \rho^k(x) = (a_{n-k+1}, a_{n-k+2}, \dots, a_{n-1}, a_n, a_{n-k}, \dots, a_1)$$

(5) シフト置換

$$y = \alpha(x) = |x+1|2^n$$

k - サブシフト置換 $_k$ 、

k - スーパシフト置換 $_k$

$$y = \alpha_k(x) = |x+1|2^k + \lfloor x/2^k \rfloor 2^k$$

$$y = \alpha^k(x) = |x+2^{n-k}|2^n$$

$||$: モジュロ計算、

$\lfloor a \rfloor$: 床関数 (floor function)

恒等置換 i

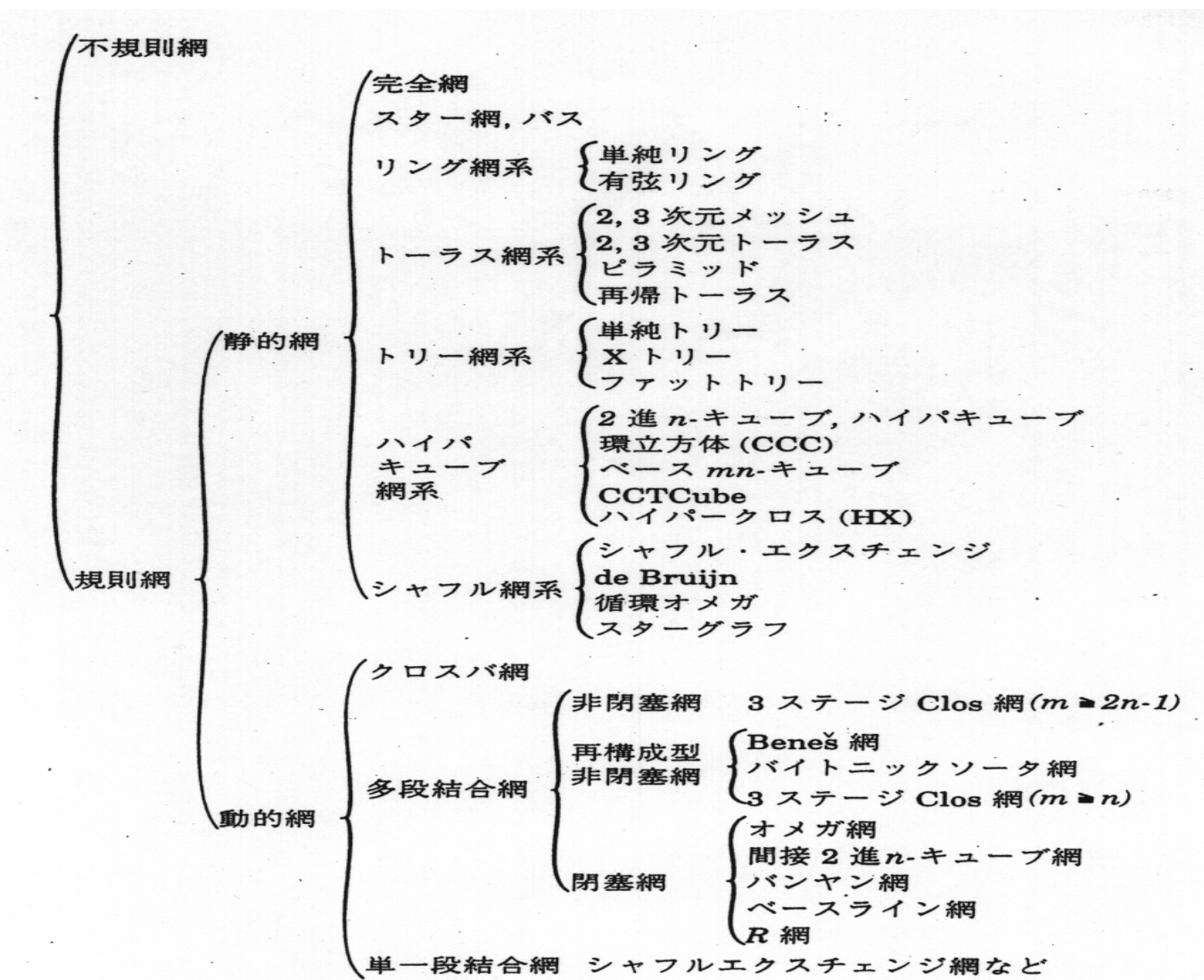
$$i(x) = x$$

逆置換 π^{-1}

$$\pi \pi^{-1} = \pi^{-1} \pi = i$$

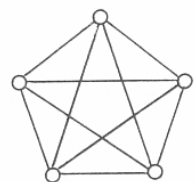
逆シャフル置換

$$y = \sigma^{-1}(x) = (a_1, a_n, a_{n-1}, a_{n-2}, \dots, a_2)$$

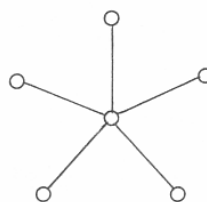


7.2 相互結合網

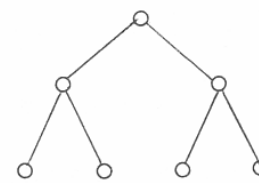
静的網



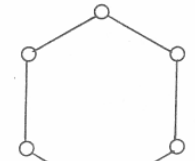
(a) 完全網



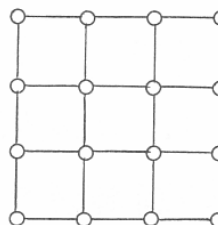
(b) スター網



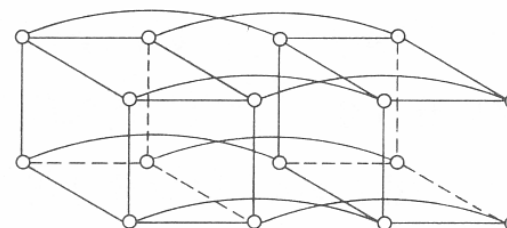
(c) 木状網



(d) リング網

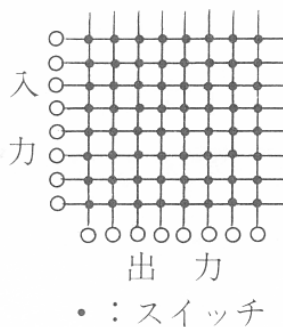


(e) 格子網(トーラス網)
(最上・下, 最左・右を結合)

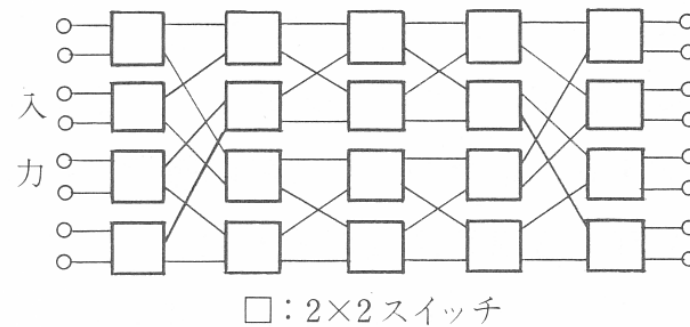


(f) ハイパーキューブ網

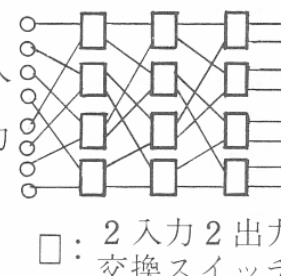
動的網



(a) クロスバー網



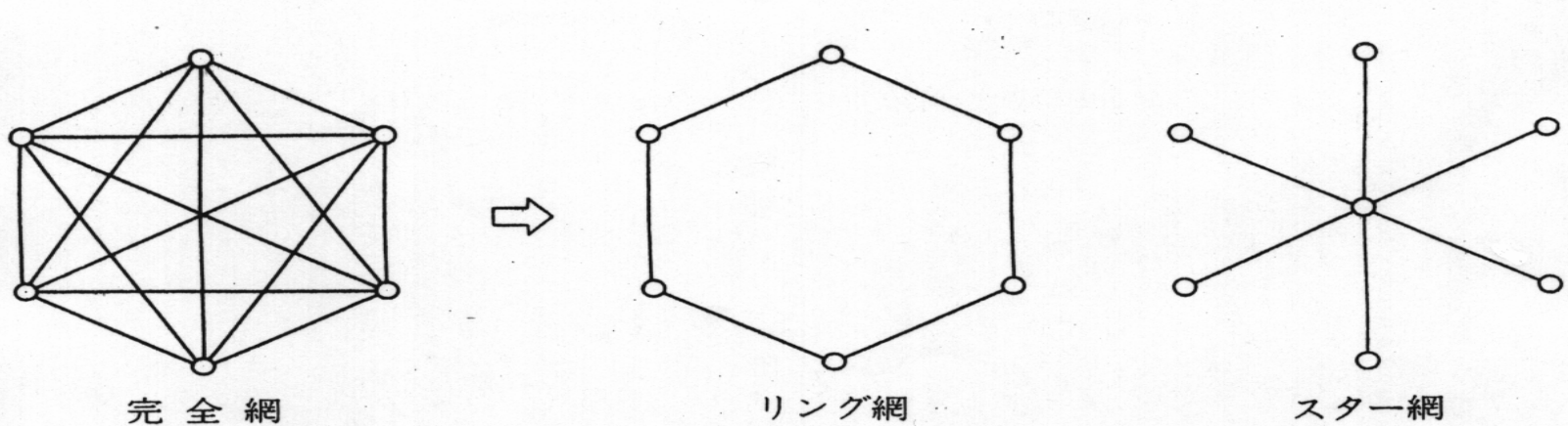
(b) Benes網



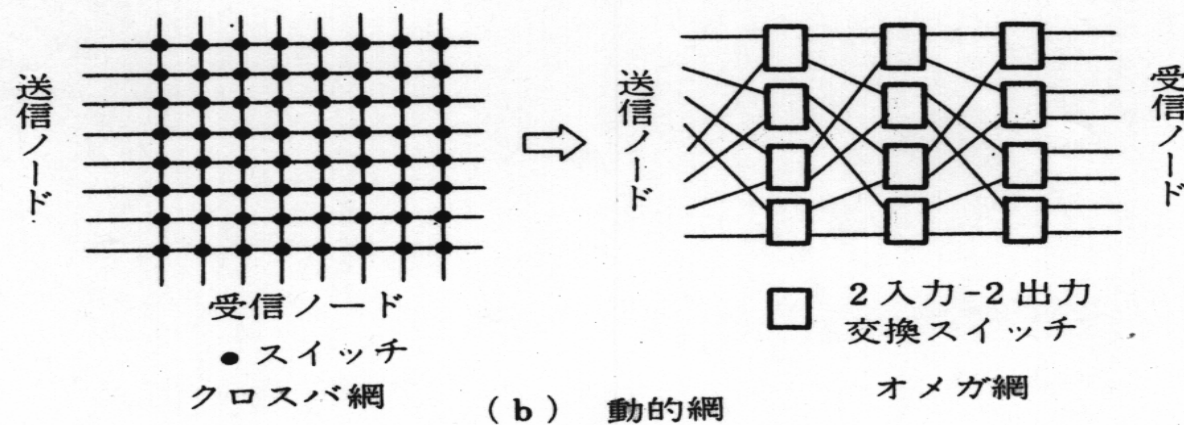
(c) オメガ網

多段結合網

○：演算装置やプロセッサ



(a) 静的網



(b) 動的網

図 2.2 静的網と動的網

2.2 青争的網

2.2.1 分類

(1) 完全網

(2) スター網

(3) リング網系

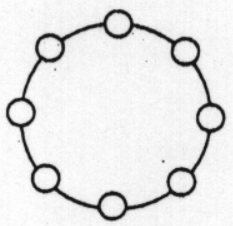
(4) トーラス網系

2次元メッシュ網

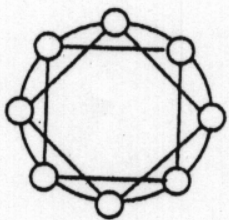
2次元トーラス網

3次元トーラス網

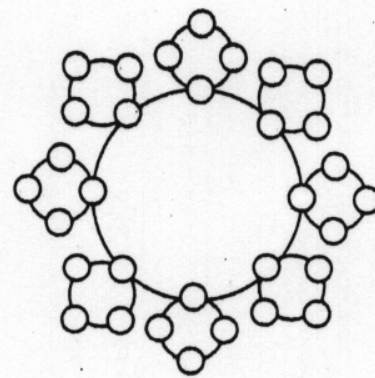
ピラミッド網



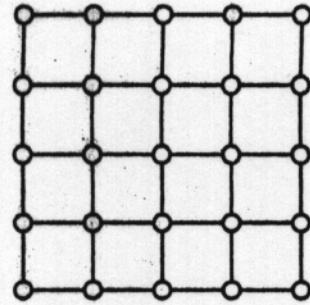
(a) 単純リング



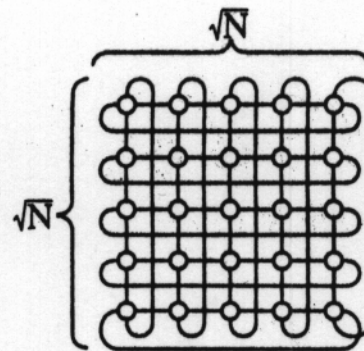
(b) 有弦リング



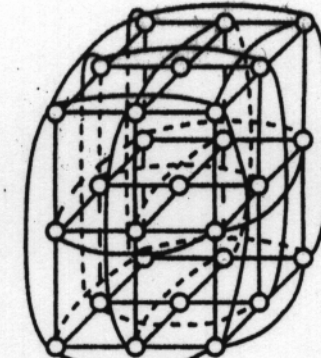
(c) 階層リング



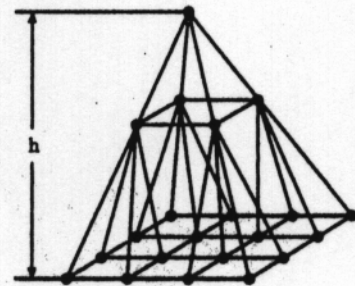
(a)2次元メッシュ



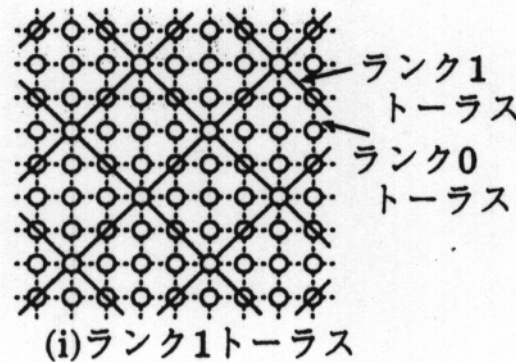
(b)2次元トーラス



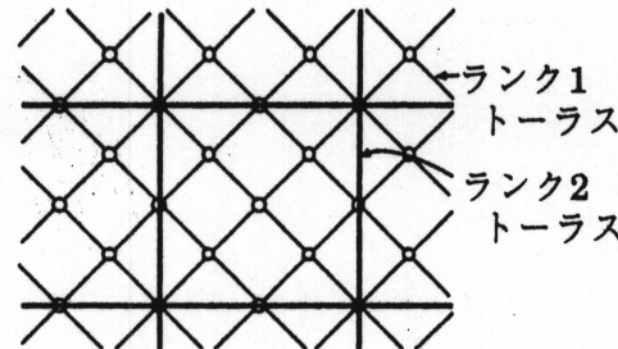
(c)3次元トーラス



(d)ピラミッド



(i)ランク1トーラス



(ii)ランク2トーラス

(e)再帰トーラス

再帰トーラス網

(RDT、Recursive Diagonal Torus)

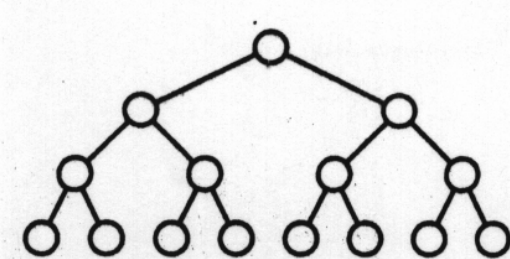
直径はN=1024で7、4096で8、16384で10程度

(5) トリー網系

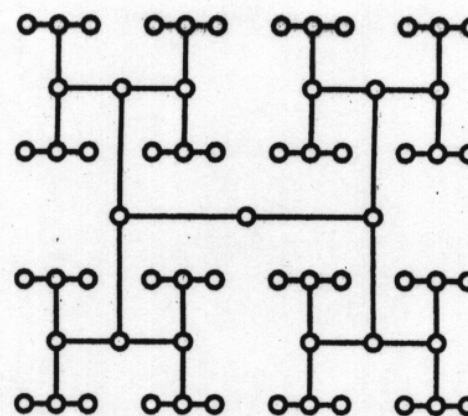
単純トリー網

Xトリー

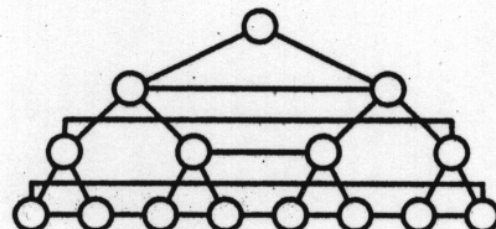
ファットトリー (fat tree)



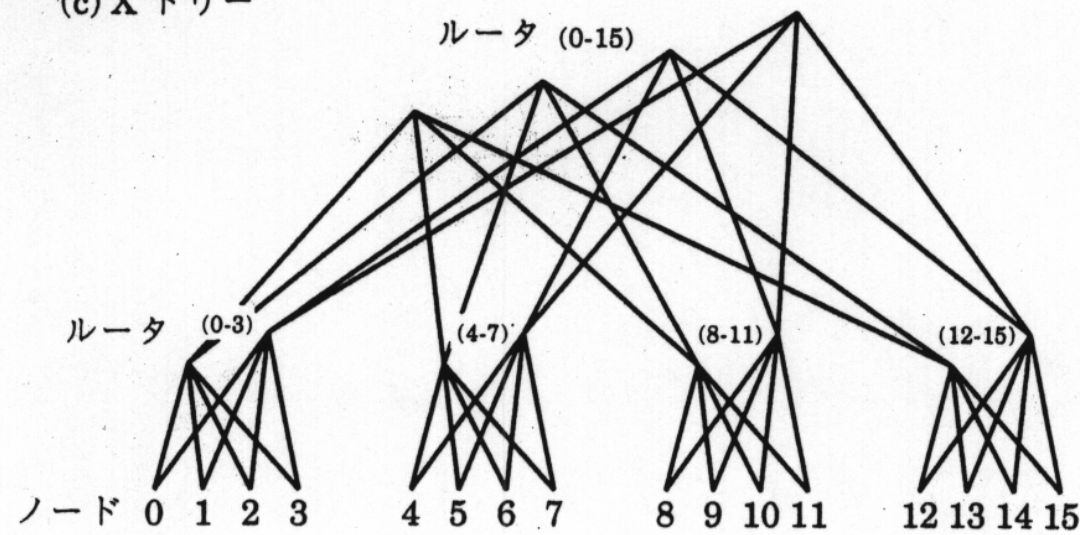
(a) 単純トリー



(b) トリーの VLSI チップへの埋込み



(c) X トリー



(d) ファットトリー (CM-5)

(6) ハイパーキューブ網系

ハイパーキューブ網

特徴

ルーティング容易

拡張可能性

多様な網の埋め込み

リング：ノード番号を反射 2 進で

トーラス：ノード番号 2 次元反射 2 進で

トリー： 2^n の 1 つをダミー ノード

結合

($a_n, a_{n-1}, \dots, a_2, a_1$)



ハミング距離: 1

($a_n, a_{n-1}, \dots, a_2, \bar{a}_1$)

($a_n, a_{n-1}, \dots, \bar{a}_2, a_1$)

(0 0 1) (1 1 0)

⋮

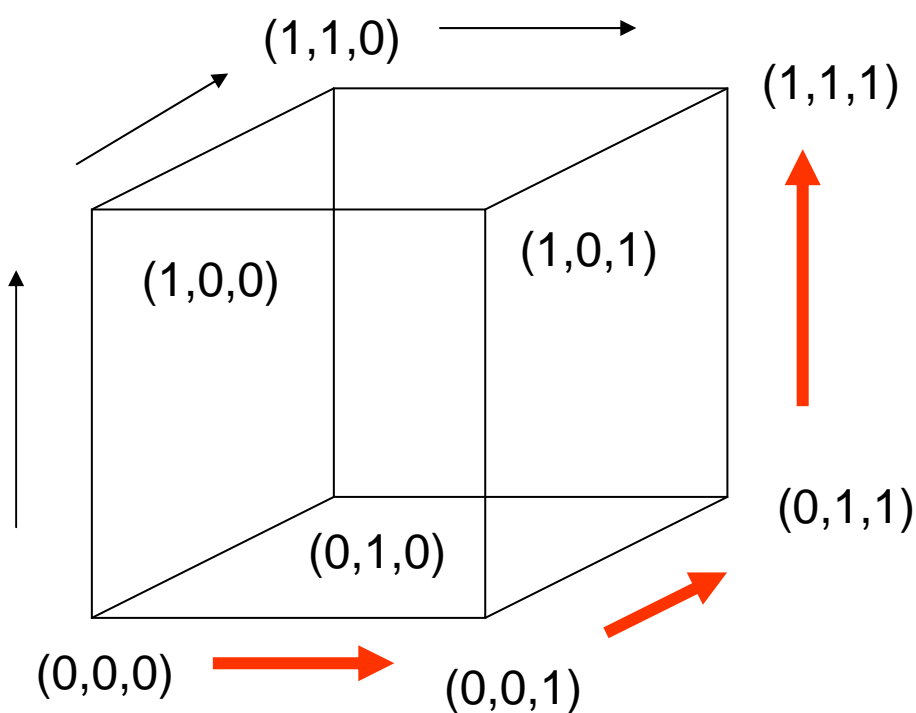
ハミング距離: 3

($a_n, \bar{a}_{n-1}, \dots, a_2, a_1$)

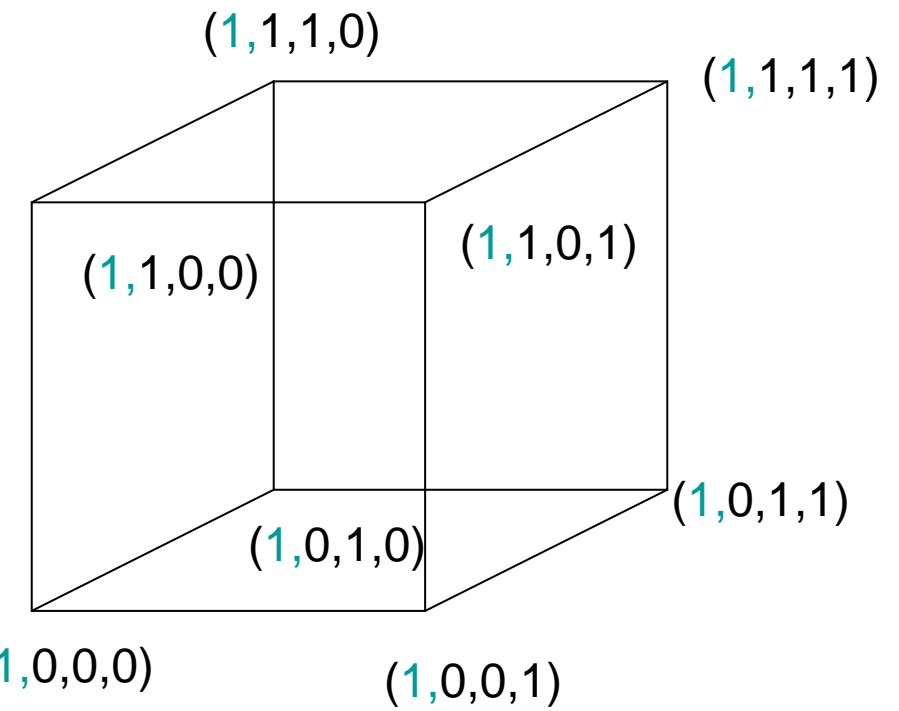
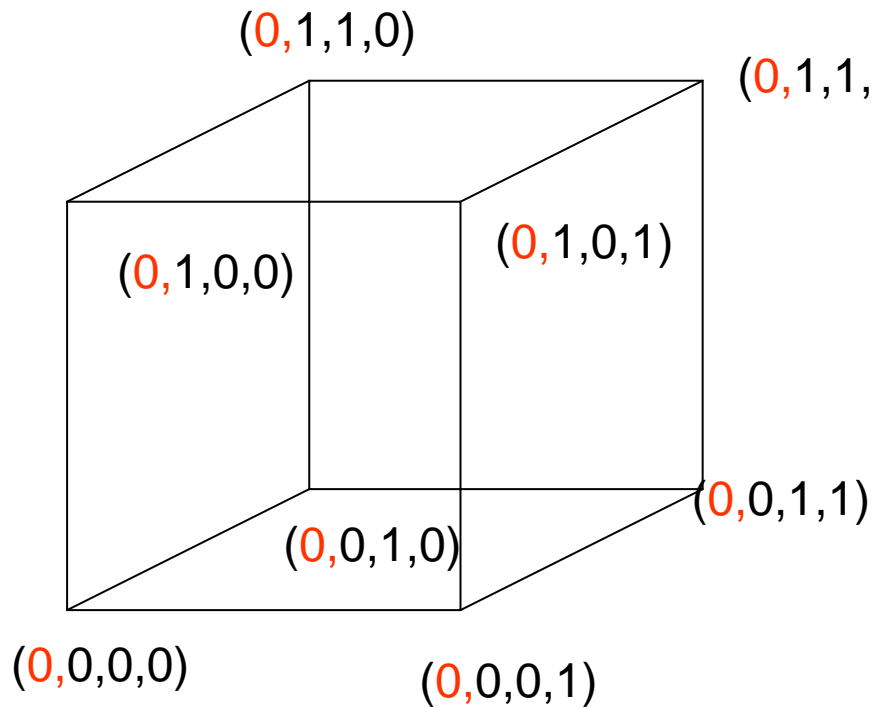
($\bar{a}_n, a_{n-1}, \dots, a_2, a_1$)

ハミング距離: 各桁の比較。異なる桁の数

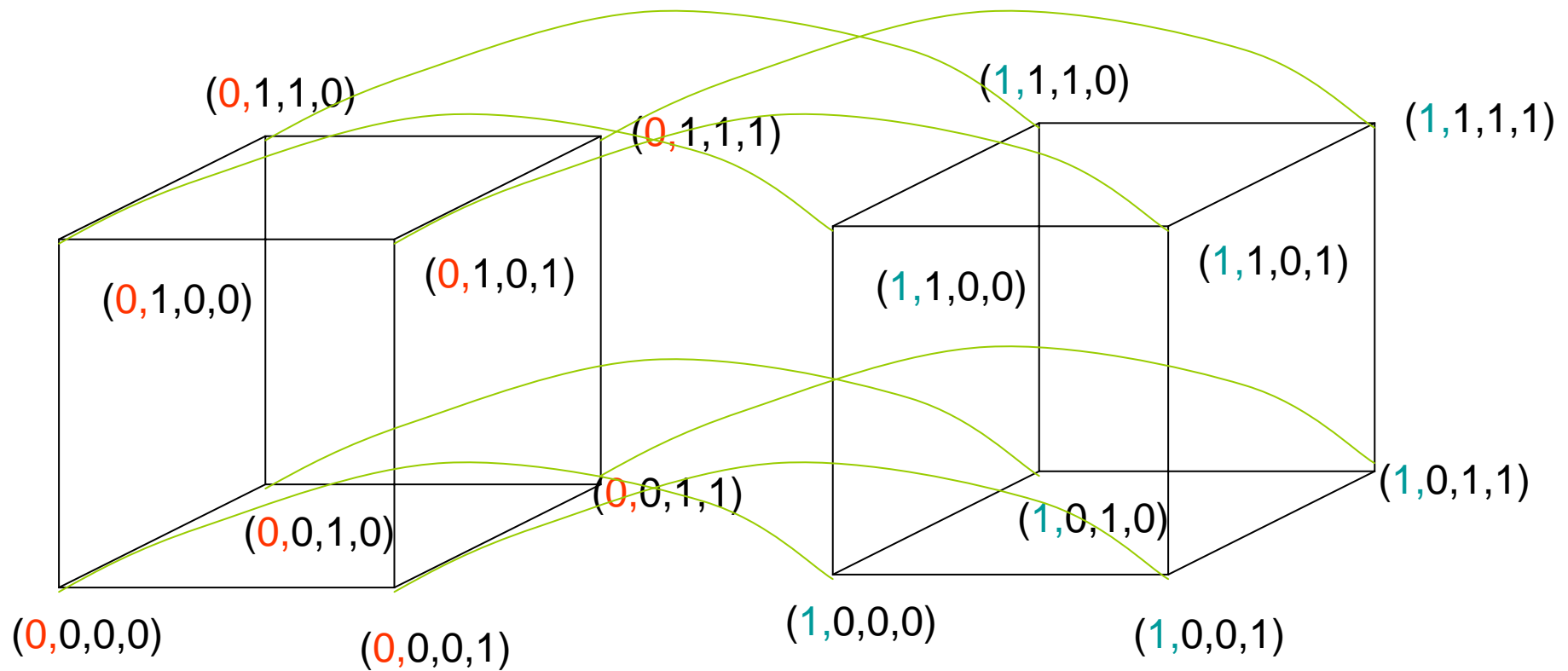
ルーティング 下位ビットから宛先に合わせる



拡張は？



拡張 3キューブから4キューブへ



埋め込み能力は

- リング
1次元の反射2進符号
- トーラス
2次元の反射2進符号
- トリー
1つのダミーノードを許すと可能

反射2進符号

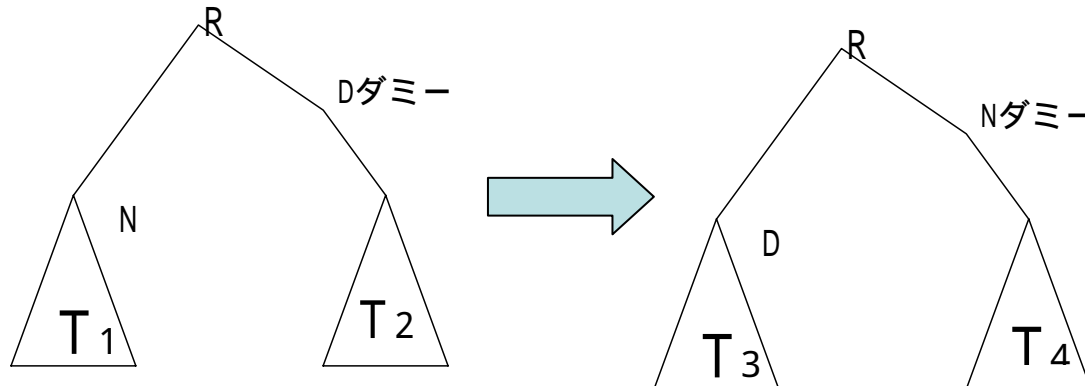
符号間のハミング距離 = 1

通常2進 反射2進

1	{ 0 0 0	1	{ 0 0 0	0 0 0
	0 0 1		0 0 1	0 0 1
2	{ 0 1 0	1	{ 0 1 1	0 1 1
1	0 1 1	1	{ 0 1 0	0 1 0
3	1 0 0	1	{ 1 1 0	1 1 0
1	1 0 1	1	{ 1 1 1	1 1 1
2	{ 1 1 0	1	{ 1 0 1	1 0 1
1	1 1 1	1	{ 1 0 0	1 0 0

トリーの埋め込み

証明

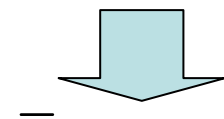


$n = k$

$R : (a_n a_{n-1} \dots a_N \dots a_D \dots a_1)$

$D : (a_n a_{n-1} \dots a_N \dots \bar{a}_D \dots a_1)$ で始まるダミー + T2

$N : (a_n a_{n-1} \dots \bar{a}_N \dots a_D \dots a_1)$ で始まるT1



$(a_n a_{n-1} \dots a_N \dots \bar{a}_D \dots a_1)$ で始まるT3

$(a_n a_{n-1} \dots \bar{a}_N \dots a_D \dots a_1)$ で始まるダミー + T4

が存在する。

$R : (a_n a_{n-1} \dots a_N \dots a_D \dots a_1)$

$R' : (a_n a_{n-1} \dots a_D \dots a_N \dots a_1)$

RとR'は1対1対応

$(a_n a_{n-1} \dots \bar{a}_N \dots a_D \dots a_1), (a_n a_{n-1} \dots a_N \dots \bar{a}_D \dots a_1)$ から始まる

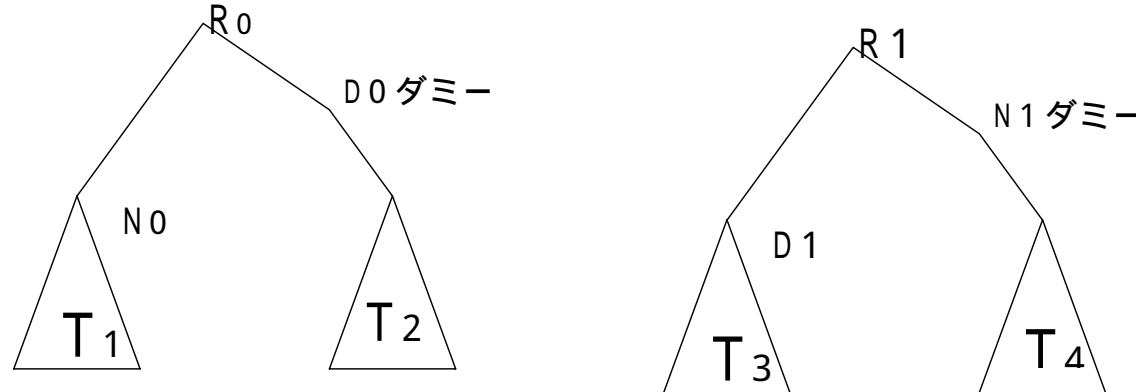
トリーに重なりがなければ

$(a_n a_{n-1} \dots \bar{a}_D \dots a_N \dots a_1), (a_n a_{n-1} \dots a_D \dots \bar{a}_N \dots a_1)$ から始まる

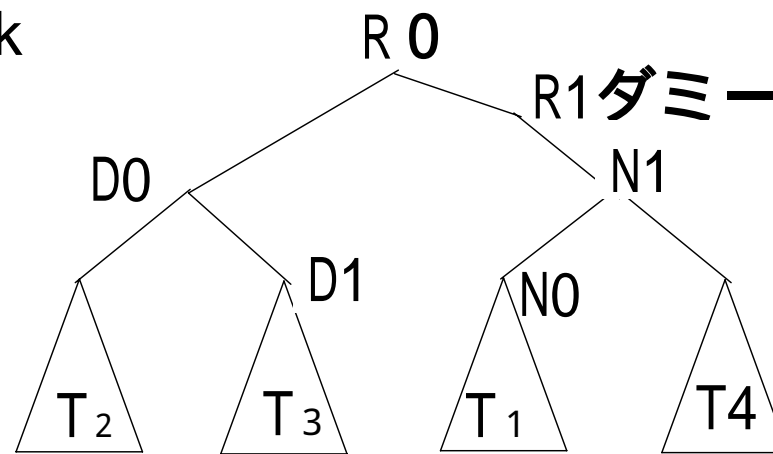
トリーに重なりがない。

トリーの埋め込み

証明



$n = k$



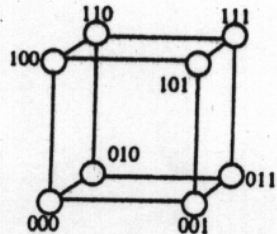
$n = k + 1$

ベース $m n$ - キューブ

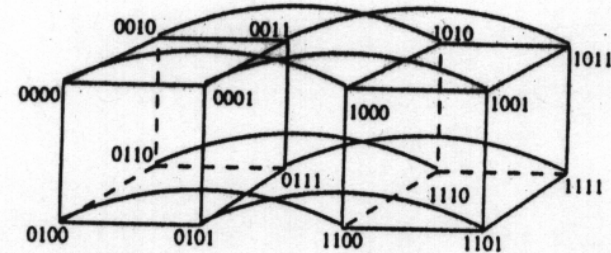
環立方体網(CCC,Cube Connected Cycle)

$N=n2^n$ 、次数は3、直径は $3n/2$

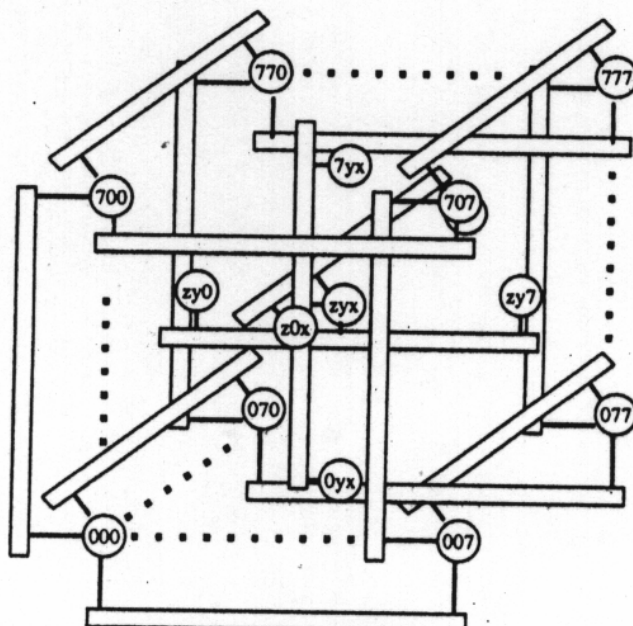
CCTcube網



(a) 2進3-キューブ

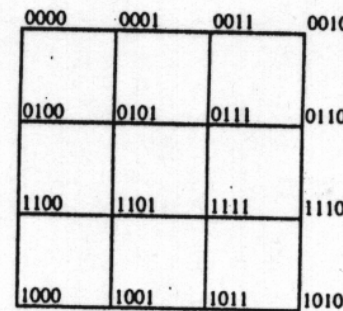


(b) 2進4-キューブの合成

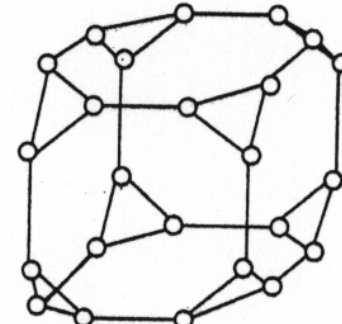


○ : ノード
□ : クロスバ網

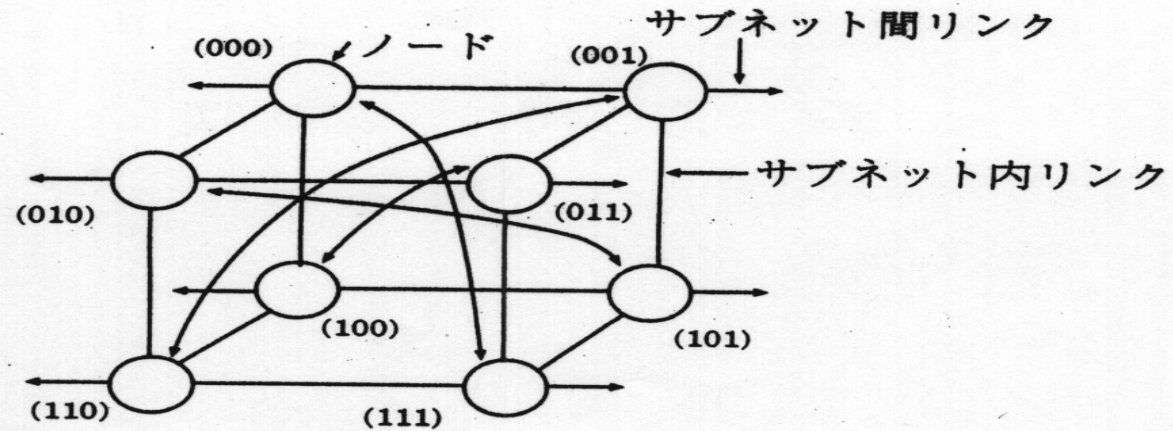
(d) ベース mn-キューブ



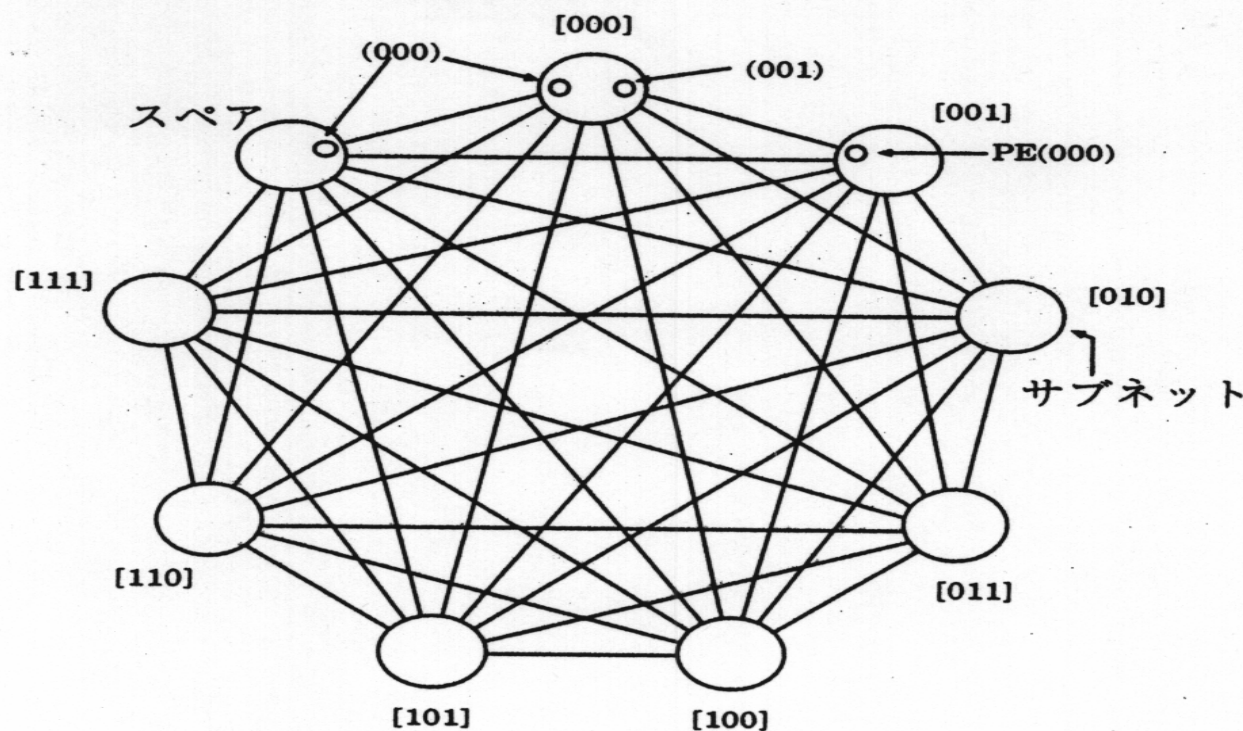
(c) 2進4-キューブによるトーラスの実現



(e) 環立方体



(a) サブネット



(b) サブネット間の結合

図 2.8 CCT cube の構成

ハイパクロス網

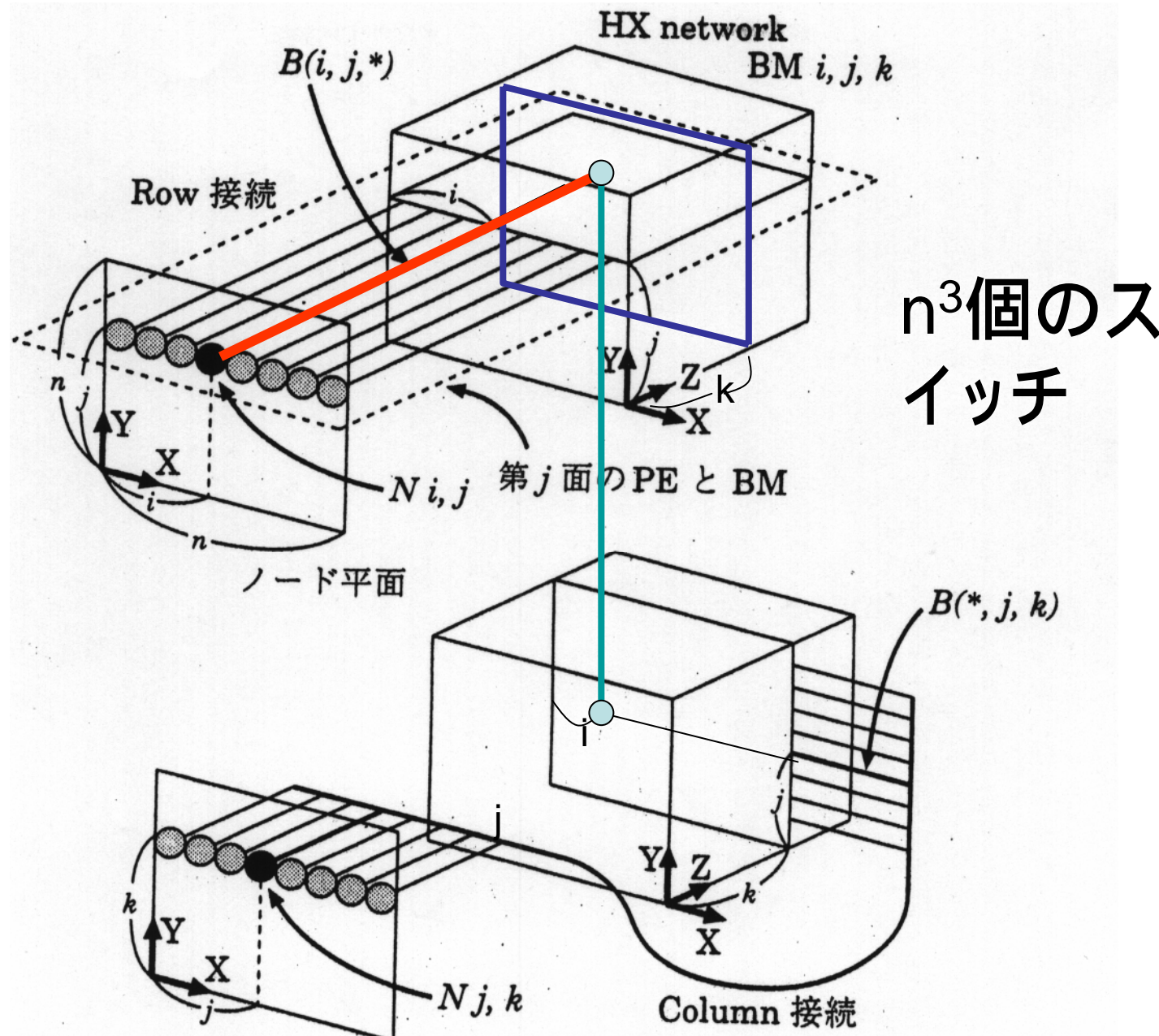
$$N=n^2$$

ノード番号を $N_{i,j}$

$N_{i,j}$ と $N_{j,k}$ および $N_{j,k}$ と $N_{i,j}$ が直接通信

任意のノード間通信 $N_{i,j}$ と $N_{k,l}$ の通信

$N_{i,j}$ $N_{j,k}$ $N_{k,l}$ 直径は2



・ リング網の埋込み

$N_{k,j}$ ($j=1, 2, \dots, k$)、 $N_{i,k}$ ($i=1, 2, \dots, k$) の

2k-1個のノード

(1, k)、(k, k)、(k-1, k)、(k, k-1)、

(k-2, k)、(k, k-2)、(k-3, k)、…、(k, 1)

とつなぎ、

k+1について

(1, k+1)、(k+1, k+1)、(k, k+1)、(k+1, k)、

(k-1, k+1)、(k+1, k-1)、(k-2, k+1)、…、

(k+1, 1)

とつなぐ。

つなぎ目の (k, 1) と (1, k+1) は結合可

- 2次元トーラスの埋込み

2次元トーラスのノード番号： $T_{x,y}$

$T_{x,y} \cdots N_{x,y}$: $x+y$ が偶数のとき

$T_{x,y} \cdots N_{y,x}$: $x+y$ が奇数のとき

T 平面で $x+y$ が奇数：

隣接する 4 つのノードでの

値 ($X+Y$ 値) はすべて偶数

$T_{x,y}$ のみが $N_{y,x}$ に写像。

N 平面ではすべて HX 結合条件満足

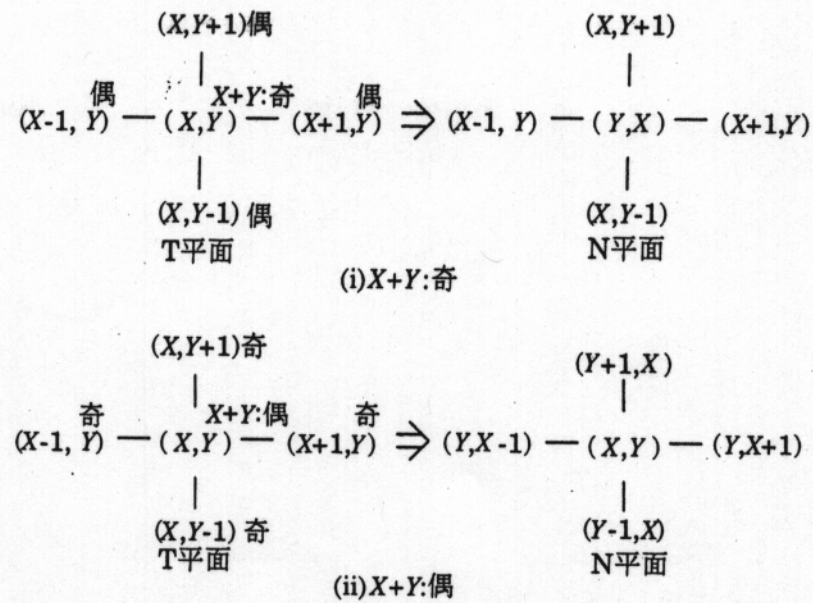
T 平面で $x+y$ が偶数：

$T_{x,y}$ 以外すべて奇数。

	16	14	12	11
$k=4$	4,1	4,2	4,3	4,4
	9	7	6	13
$k=3$	(3,1)	3,2	3,3	3,4
	4	3	8	15
$k=2$	2,1	2,2	2,3	2,4
	1	2	5	10
$k=1$	1,1	1,2	1,3	1,4
	$k=1$	$k=2$	$k=3$	$k=4$

右上角の番号: リング網のノード番号

(a) HX網へのリングの埋込み



4,1	4,2	4,3	4,4
3,1	3,2	3,3	3,4
2,1	2,2	2,3	2,4
1,1	1,2	1,3	1,4

(iii) T 平面の N 平面への写像

1,4	4,2	3,4	4,4
3,1	2,3	3,3	4,3
1,2	2,2	3,2	2,4
1,1	2,1	1,3	4,1

(b) HX網への2次元トーラスの埋込み

- ・ハイパーキューブの埋込み

$N=2^{2k}$ ($n=2^k$)。

kビットの反射2進符号

ある数*i*とハミング距離1の数*j*

はk個存在

$j - i$: 奇数

反射2進符号

符号間のハミング距離 = 1

通常2進 反射2進

	0 0 0	0 0 0	0 0 0 1
1	{ 0 0 1	{ 0 0 1	{ 0 0 1 2
	0 1 0	0 1 1	0 1 1 3
2	{ 0 1 1	{ 0 1 0	{ 0 1 0 4
1	1 0 0	1 1 0	1 1 0 5
3	{ 1 0 1	{ 1 1 1	{ 1 1 1 6
1	1 1 0	1 0 1	1 0 1 7
2	{ 1 1 1	{ 1 0 0	{ 1 0 0 8
1	1 1 1		

2kビットの数

$a(i), b(j)$

2kビット長の符号 : $a(i)+b(j)$

ノード $H_{a(i)+b(j)}$ を

ハイパクロス網 ノード $N_{x,y}$ に写像

$x=i, y=j : i+j$ 奇数時

$x=j, y=i : i+j$ 偶数時

$i+j$ が奇数のとき

(i が偶数 / 奇数、 j が奇数 / 偶数)

$H_{a(i)+b(j)}$ は $N_{i,j}$ に写像

$H_{a(i)+b(j)}$ と結合しているのは、

$b(j)$ を固定して考えると

k 個の $H_{a(r)+b(j)}$ 、 $r-i$: 奇数

$a(i)$ を固定して考えると

k 個の $H_{a(i)+b(s)}$ 、 $s-j$: 奇数

(i : 偶、 j : 奇、 r : 奇、 s : 偶) または

(i : 奇、 j : 偶、 r : 偶、 s : 奇))

であり、 $r+j$ 、 $i+s$ は偶数

ノードは $N_{j,r}$ 、 $N_{s,i}$ に写像 : $N_{i,j}$ と結合

数	反射 2 進符号	$a(i)$	$b(i)$
1	000	000000	000000
2	001	000001	000010
3	011	000101	001010
4	010	000100	001000
5	110	010100	101000
6	111	010101	101010
7	101	010001	100010
8	100	010000	100000

→ 数 3 とハミング
距離 1 の数
.... 数 5 とハミング
距離 1 の数

0 挿入 0 挿入

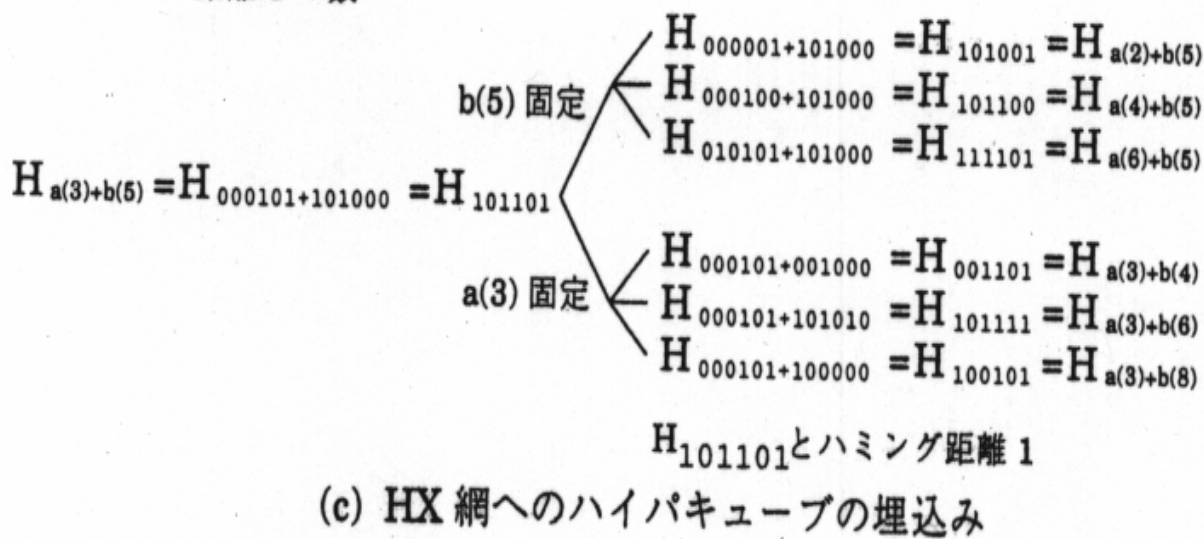


図 2.10 HX 網への各種網の埋込み

(7) シャフル網系

シャフル・エクスチェンジ網

de Bruijn 網

次数：4、直径： $\log_2 N$

ハミルトンパス：

000,001,011,111,110,101,010,100

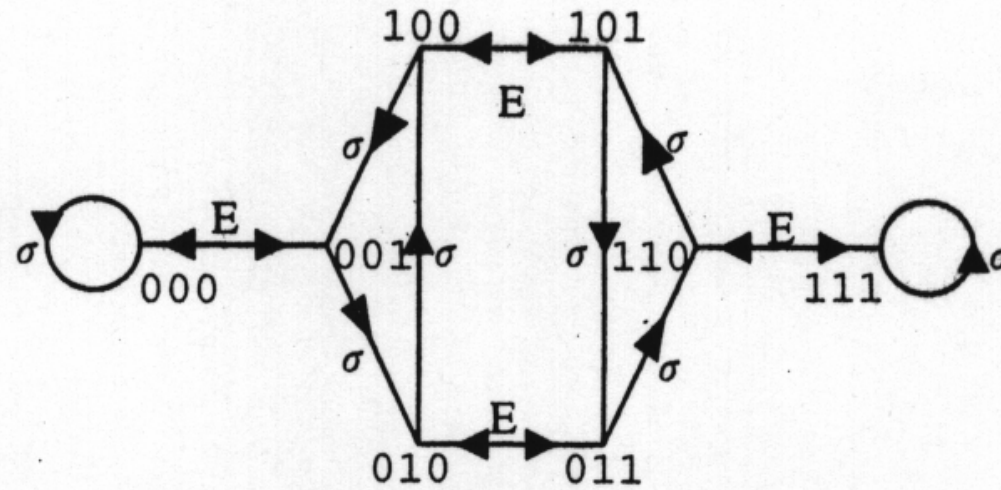
リング網の埋込み

n ビット列： $X_i = (x_{i1}, x_{i2}, \dots, x_{in})$ $X_i = EX_i$

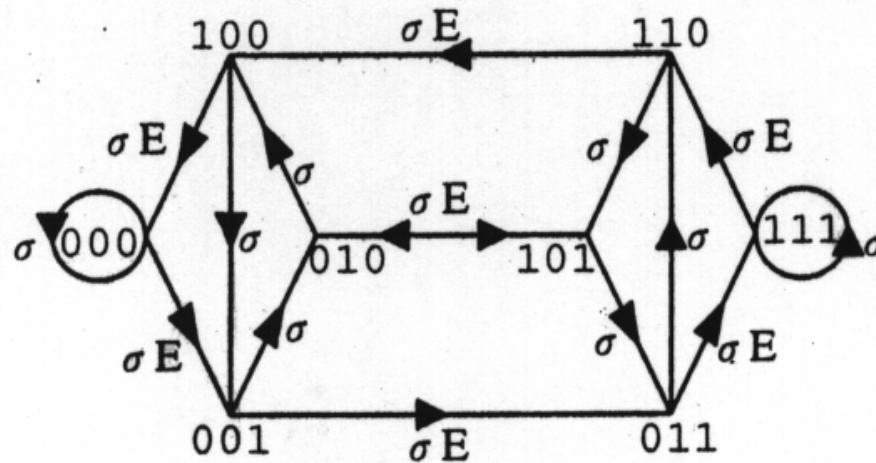
X_i の共役 n ビット列： $X_i^* = (\sim x_{i1}, x_{i2}, \dots, x_{in})$ $EX_i = X_i$

(X_1, X_2, \dots, X_k) : サイクル

$X_1 = X_2, X_2 = X_3, \dots, X_{k-1} = X_k, X_k = X_1$



(a) シャフル・エクスチェンジ網



(b) de Bruijn網

相互隣接サイクル C_1, C_2

$$C_1 = (X_1^1, X_2^1, \dots, X_k^1), C_2 = (X_1^1, X_2^2, \dots, X_m^2)$$

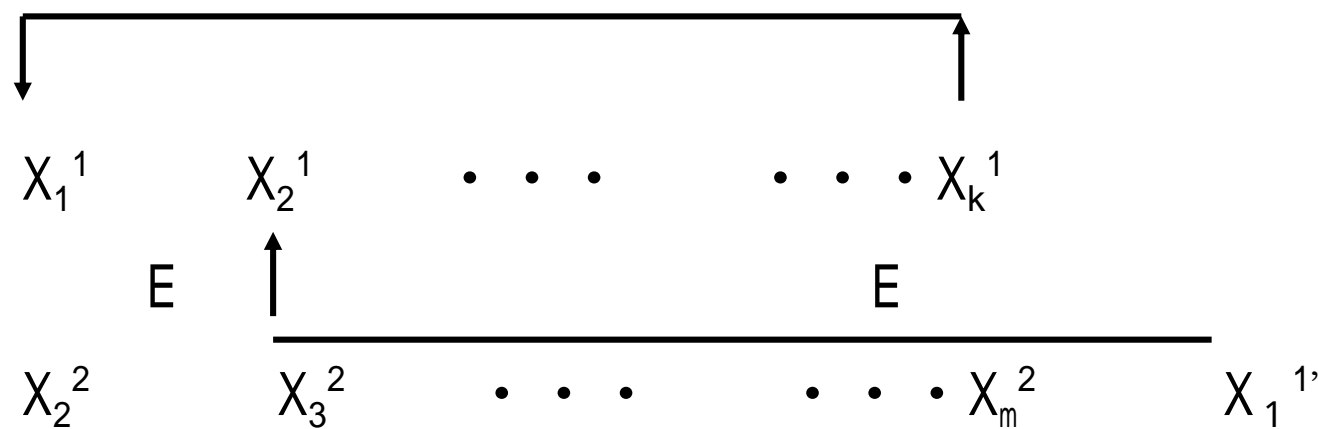
C_1, C_2 を 1 つの拡張サイクルに合成可能 共役

拡張サイクル： E 使用可能

$$X_1^1 = EX_1^1 = X_2^1$$

C_1 サイクル

$$EX_1^1 = X_1^1 = X_2^2$$



C_2 サイクル

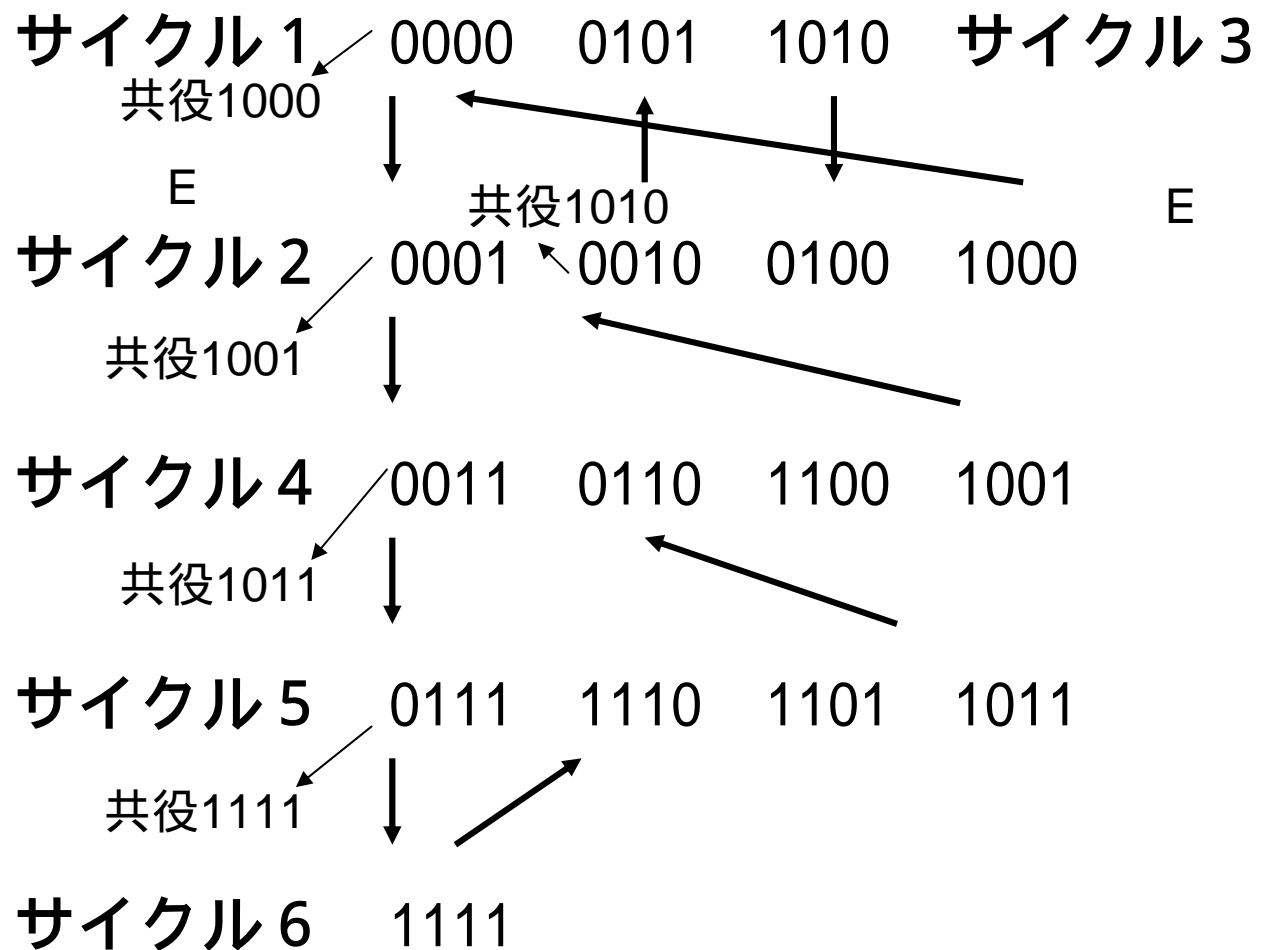
重み $W(X_i) = \sum_{j=1}^n x_{ij}$

アルゴリズム

- (1) 重み 0 の n ビット列 $(0, 0, \dots, 0)$ からスタート
- (2) 重み $K-1$ 以下のサイクルをマージした拡張サイクル EC^{K-1} の要素 X と共に役な X' を要素に持つ重み K のサイクルを選びマージし， EC^K とする。
- (3) $K=n$ まで (2) を繰り返す。

例

重み 0	サイクル 1	0000				
重み 1	サイクル 2	0001	0010	0100	1000	
重み 2	サイクル 3	1010	0101			
	サイクル 4	0011	0110	1100	1001	
重み 3	サイクル 5	0111	1110	1101	1011	
重み 4	サイクル 6	1111				



トリー網の埋込み

(001)

E1

(010)

(011)

E1

E1

(100)

(101)

(110)

(111)

トーラス網：不可

de Bruijn網の一般形：

D進n桁(D_n, D_{n-1}, \dots, D_1)が

↓($D_{n-1}, D_{n-2}, \dots, D_1, *$)と結合

循環オメガ網 (circular omega)

オメガ網のスイッチをノードで置き換えた網（後述）

Star Graph網

ノード数 $N = n!$

記号列の最初の文字と他の文字を

入れ換えたノードとリンク

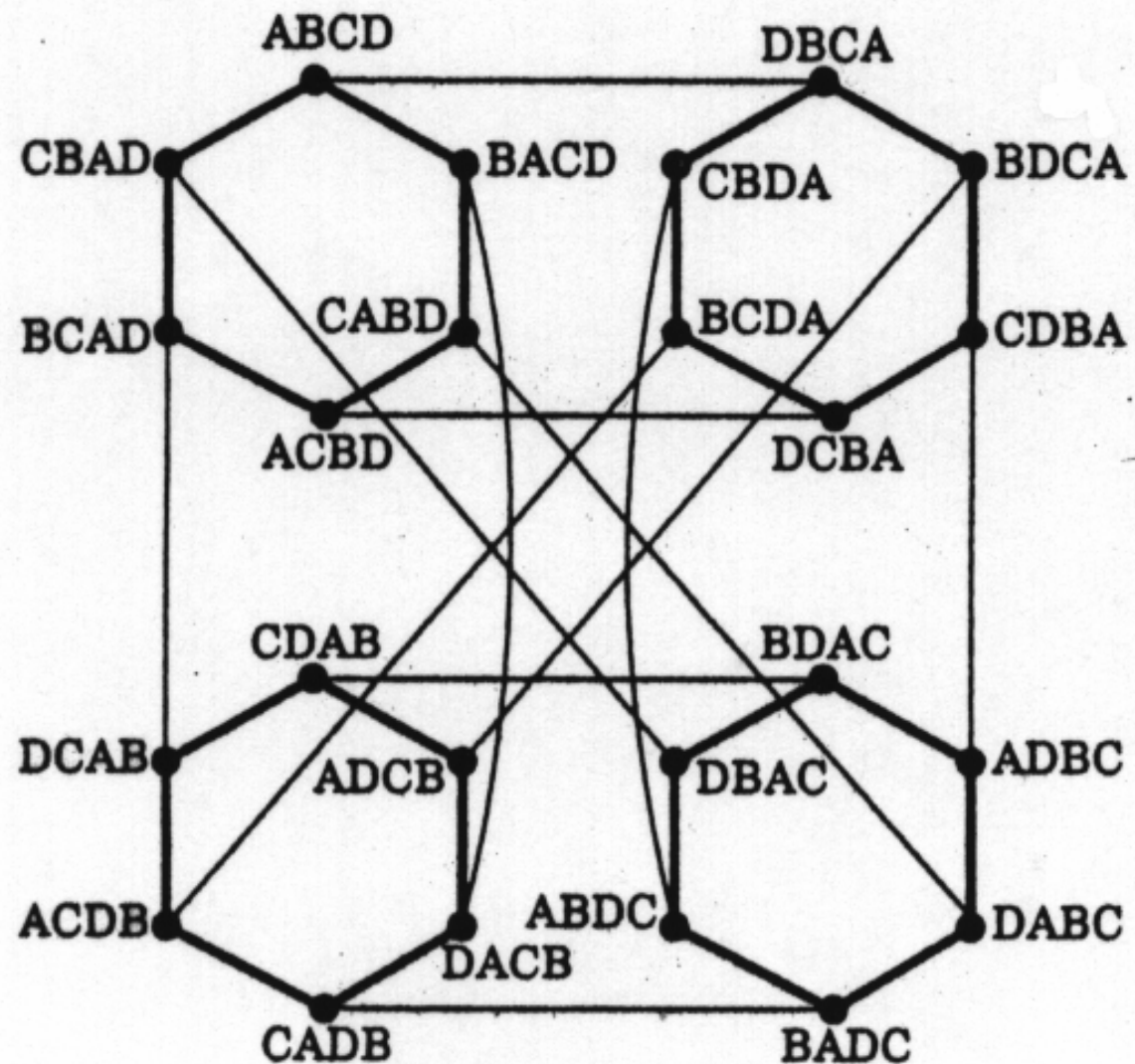
ノード ABCD : BACD、 CBAD、 DBCA と結合

次数 : $n - 1$

任意のノード番号から

ノード ABCDEFGH へのルーティング

記号 A, B, C, D, E, F, G, H の



(c)スター グラフ 網の構成

ホームポジション：1,2,3,4,5,6,7,8

(たとえば、Aは1、Cは3、Hは8)

- 与えられた送信ノードの最初の記号がAでない
その記号に対応する送信ノード番号中のホーム
ポジションにある記号と置き換えを行う。
- 与えられた送信ノードの最初の記号がA
適当な位置にある記号に入れ換える。
- 以上の過程を繰り返す。

FDGBEHCA HDGBEFCA ADGBEFCH DAGBEFCH
BAGDEFCH ABGDEFCH GBABEFCH CBADEFGH

ABCDEFGH

記号列のサイクル：サイクル内の入れ替えホームポジションへ

FDGBEHCA :

(F,H,A)と(D,B)と(G,C)サイクルの形成

ルーティング回数 N_r

$N_r = C + m - 2$: 送信ノード番号の先頭がAでないとき

$C + m$: 送信ノード番号の先頭がAのとき

FDGBEHCAの例 : $C=3, m=7, N_r:8$

サイクルの決定

FDGBEHCAでは、サイクル1 : (F,H,A)、

サイクル1: (F,H,A)

サイクル2 : (D,B)、サイクル3として: (G,C)

サイクル1での置換

FDGBEHCA - >

サイクル1 : サイクル長 3、
HDGBEFCA - > ADGBEFCH

2回の置換でADGBEFCH : 一般にもとのサイクル長-1

サイクル2に統合

ADGBEFCH - > DAGBEFCH - >

BAGDEFCH - > ABGDEFCH

Aをサイクル2に統合 : サイクル長 3、

3回の置換でABGDEFCH : 一般にもとのサイクル長 + 1

サイクル3に統合 :

ABGDEFCH - > GBADEFCH - >

CBADEFGH - > ABCDEFGH

サイクル3、サイクル長 3、

3回の置換でABCDEFGH : 一般にもとのサイクル長 + 1

先頭がAでないとき

置換回数 : $m-1+c-1=c+m-2$

先頭がAのとき : $c+m$

直径

先頭 : A

サイクル : (D, B, C)、(F, E)、(H, G) : $\lfloor (n-1)/2 \rfloor$

サイクル長 : 総数が $n-1$ のとき

$\lfloor 3(n-1)/2 \rfloor$

C-1個のサイクルで + 1 の置換

最初のサイクルで置換-1

2 . 3 静的網のルーティング、 デッドロック

2 . 3 . 1 パケット交換方式

蓄積交換 (store and forward)

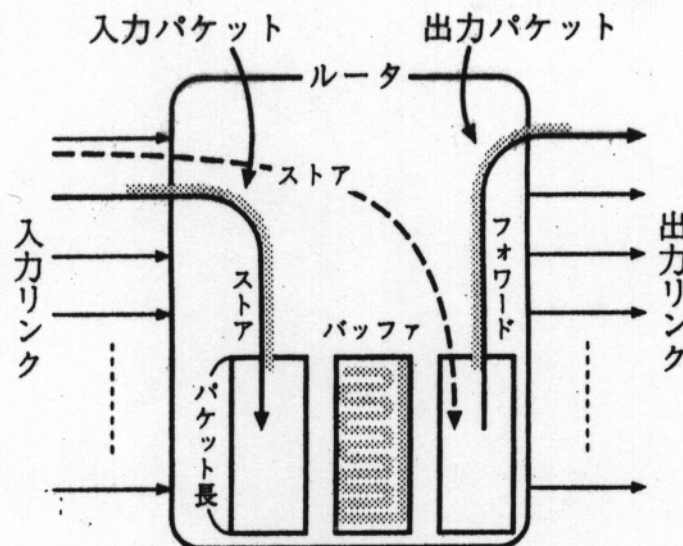
ワームホール

バーチャルカットスルー

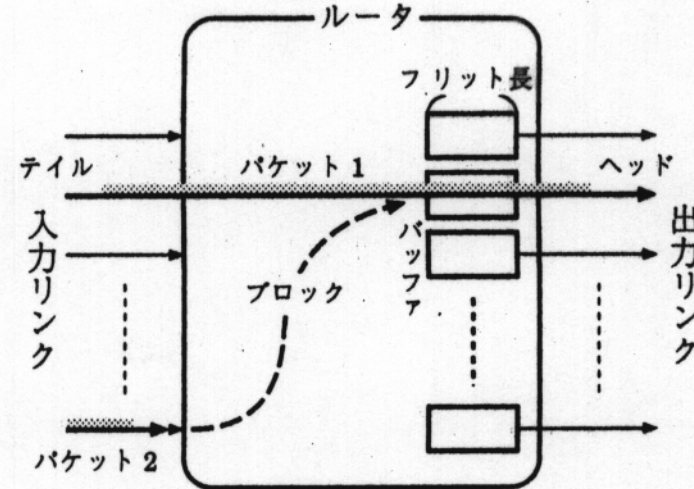
2 . 3 . 2 デッドロック — 般論

デッドロックの発生条件

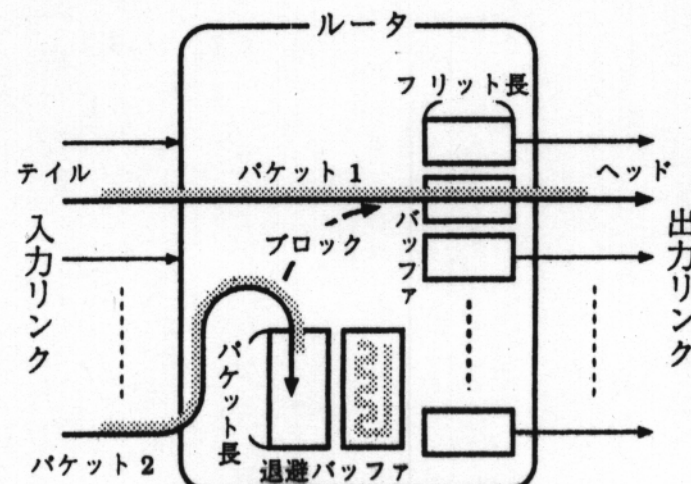
排他的利用 (Exclusive control)



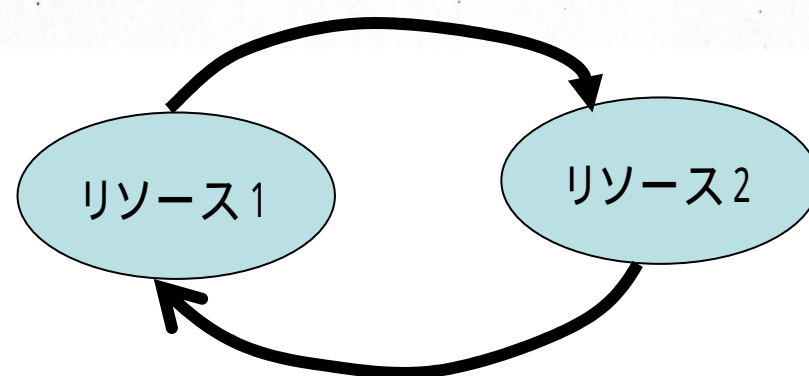
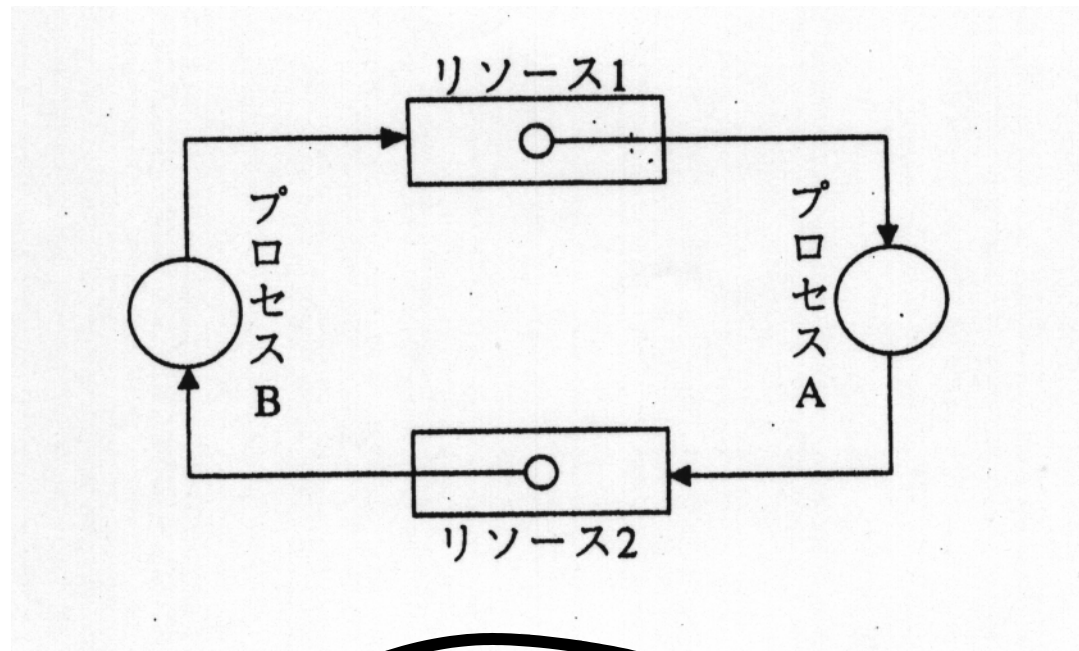
(a) 蓄積交換



(b) ワームホール



(c) パーチャルカットスルー



非妥協的リソース待ち (hold-wait)

横取り不可 (non-preemption)

リソース利用におけるサイクルの存在

デッドロック対処手段

(1) デッドロック検出 (detection)

(2) デッドロック回避 (avoidance)

銀行家のアルゴリズム

将来デッドロックが生じる可能性のある

リソース割付けの禁止

システム状態：安全 (safe) 状態に保つ

安全な状態にあるプロセス：

すべて実行終了可能

$P_0, P_1, P_2, \dots, P_m$ プロセス：

リソース利用最大値(M_i) が既知

システムが安全状態

現在リソース利用値： U_i

現在リソース要求残値 B_i ： $(M_i - U_i)$

現在リソース要求値： R_i

空きリソース数 T ：

(全リソース数 - $\sum U_i$)

$T >= R_i$	A社 限度額 20万円 5万円要求 受理	銀行 資本 20万円 15万円	B社 限度額 15万円 8万円要求 受理
1月			
2月		7万円	
3月	4万円要求 受理	3万円	
4月		2万円	1万円要求 受理
5月	3万円要求 拒否		
6月		3万円要求 拒否	
			A, B両社とも事業の推進不可能

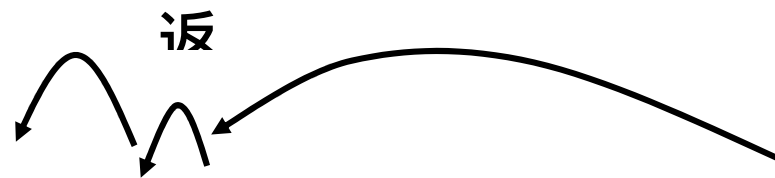
$T \geq B_i$

一方、 $T \geq B_i$ のとき受理される方式では次のようにデッドロックは生じない。

	A社 限度額 20万円	銀行 資本 20万円	B社 限度額 15万円
1月	5万円要求 受理	15万円	
2月		7万円	8万円要求 受理
3月	4万円要求 拒否 (将来の予想借入れ最大額 15万円 > 銀行資金残高 7万円)		
4月		6万円	1万円要求 受理
5月		3万円	3万円要求 受理
6月		0万円	3万円要求 受理
		15万円	15万円返済

P_i のリソース要求

T B_i のとき要求を受理



P_1	P_2	P_3	P_4	P_5	P_6	・	・	・	P_8	P_9	・	・	・
受	拒	受	拒	受	拒否				受	以後	拒否		
理	否	理	理	否				理					

(3) デッドロック防止 (prevention)

リソースの共有化

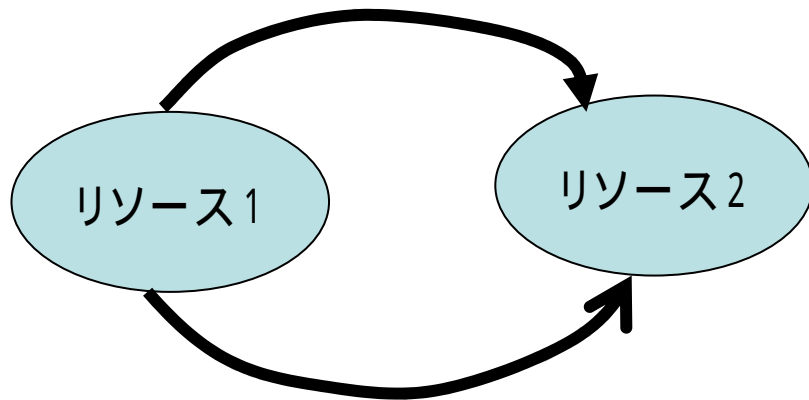
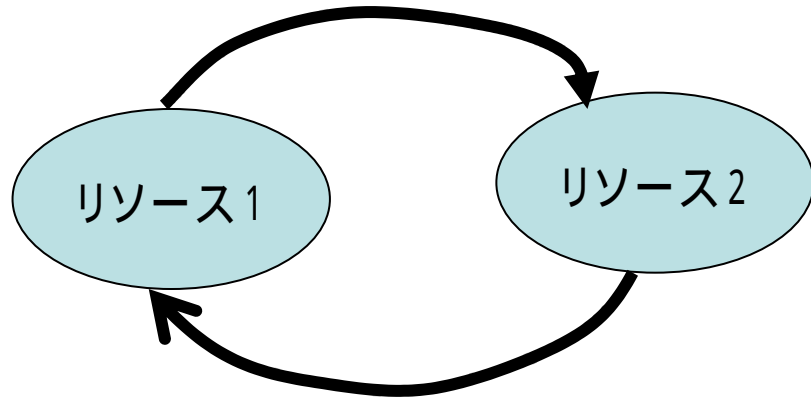
妥協的リソース待ち

- ・ 非受理時全リソース解放
- ・ 一括リソース要求

横取り可能

サイクルの防止

- ・ リソース数の増大
- ・ 代替リソースの提供
- ・ リソース番号順獲得



2.3.3 デッドロック

(1) チャネル依存グラフ

チャネル依存グラフ $D = G(C, E)$

$$E = \{ (C_i, C_j) \mid R(C_i, n) = C_j \}$$

R : ルーティング方式

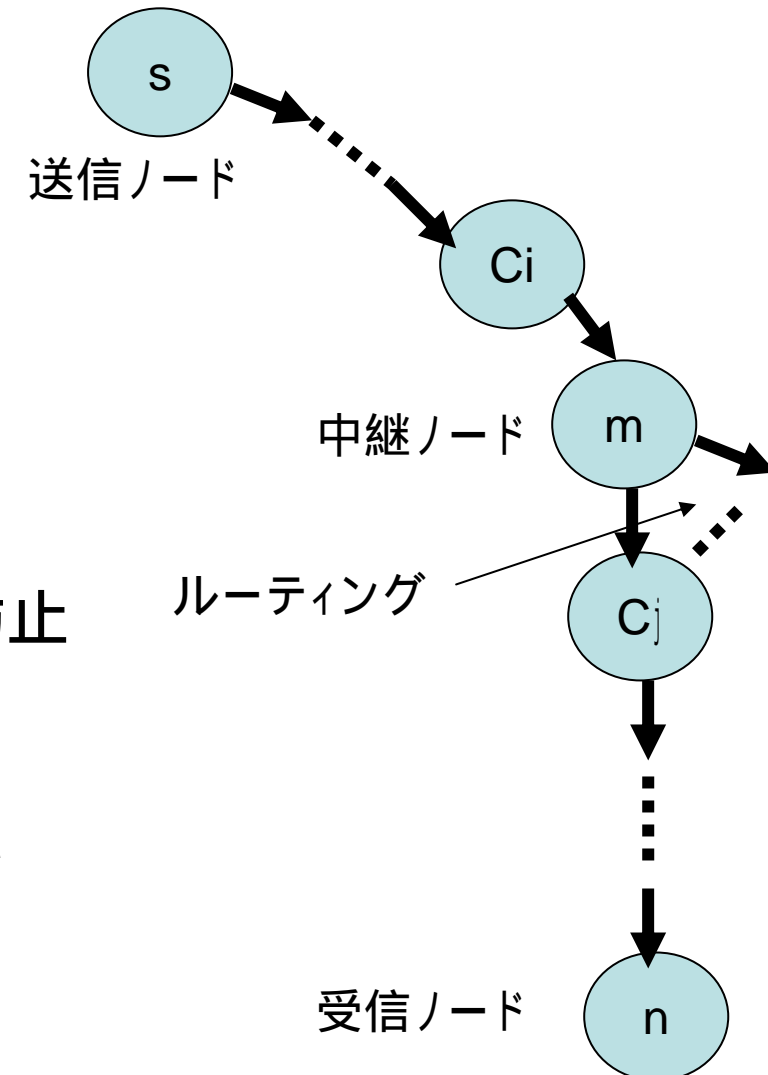
n : 宛先 n

(2) リング網でのデッドロック防止

チャネルの共有化

仮想化につながる考え方

妥協的チャネル待ち



バーチャルカットスルーの考え方

退避バッファ：デッドロック問題

横取り可能チャネル

サイクルの防止

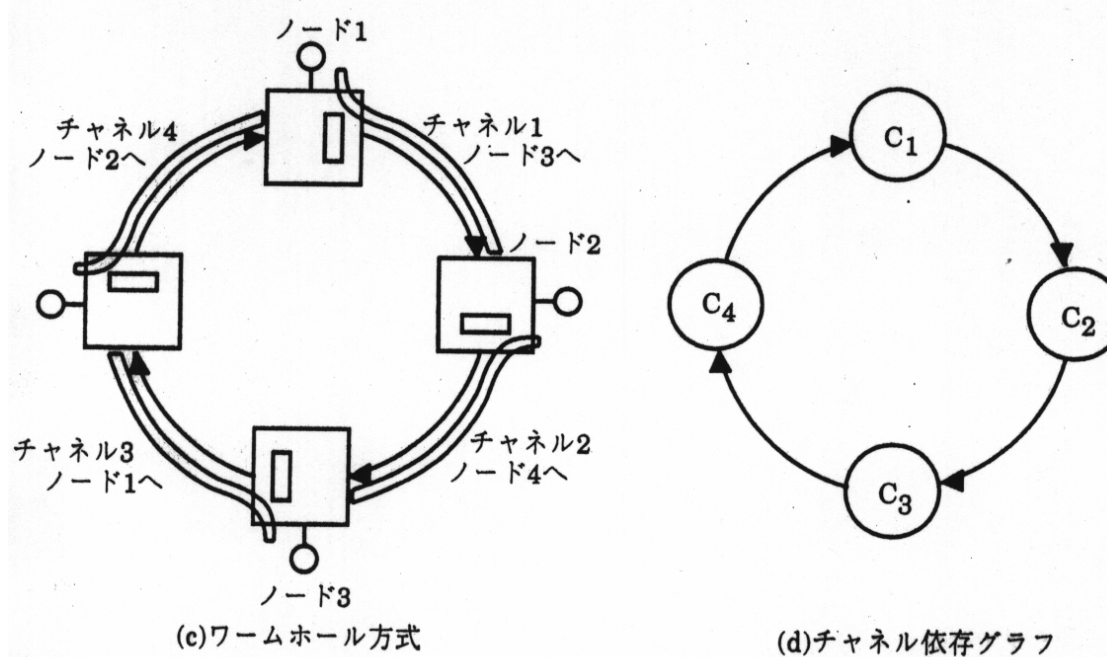
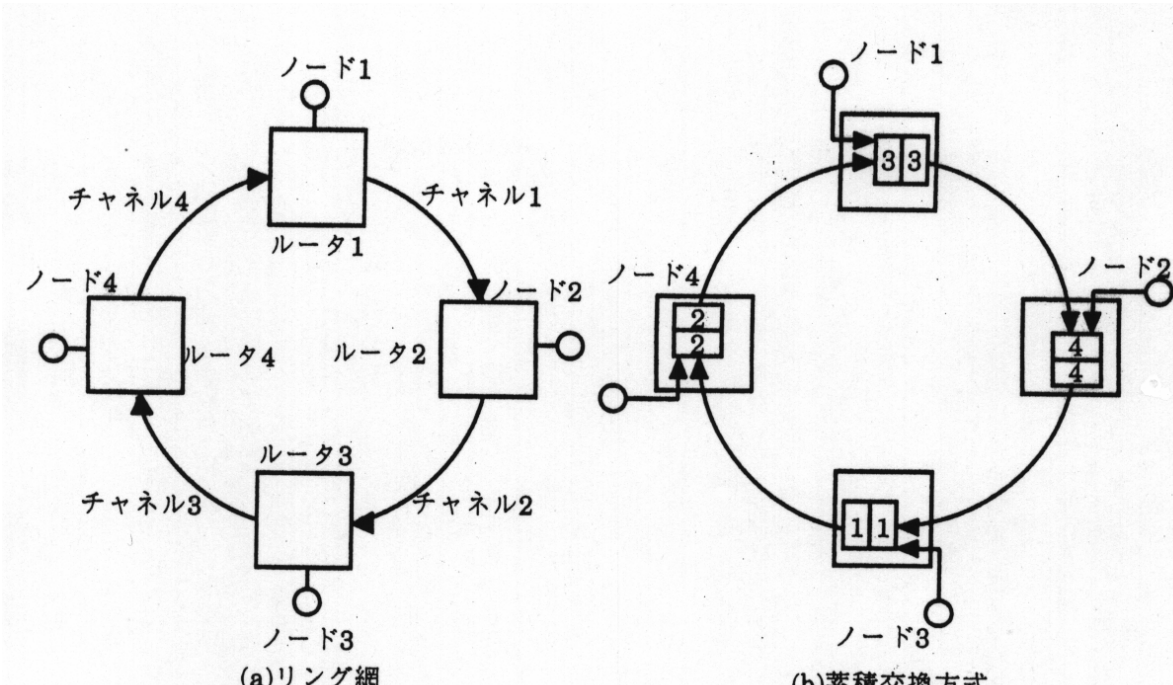
- ・リングの切断
- ・仮想チャネル

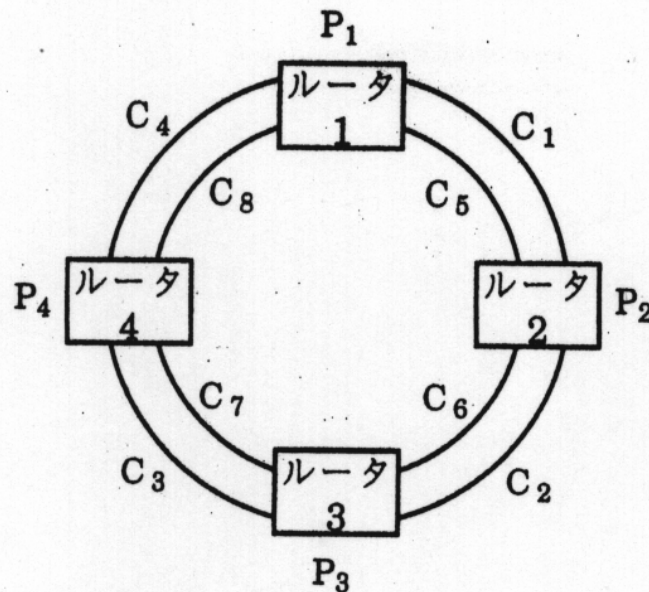
仮想チャネル

一意の番号付け

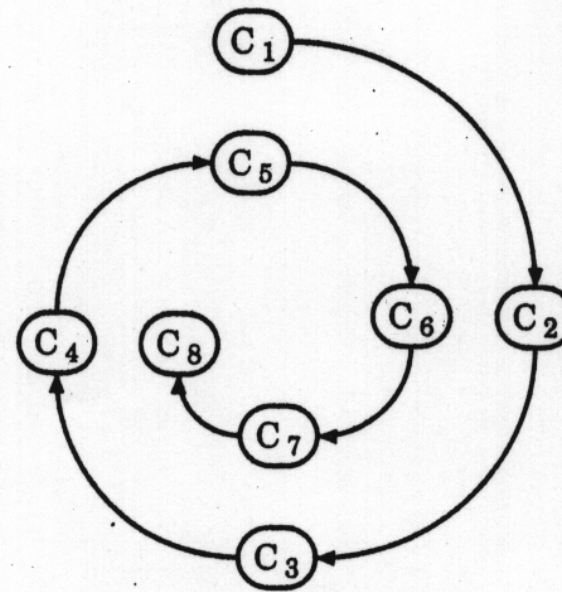
(チャネル番号: C_1, C_2, \dots, C_8)

C_1 から C_4 ：下位リング

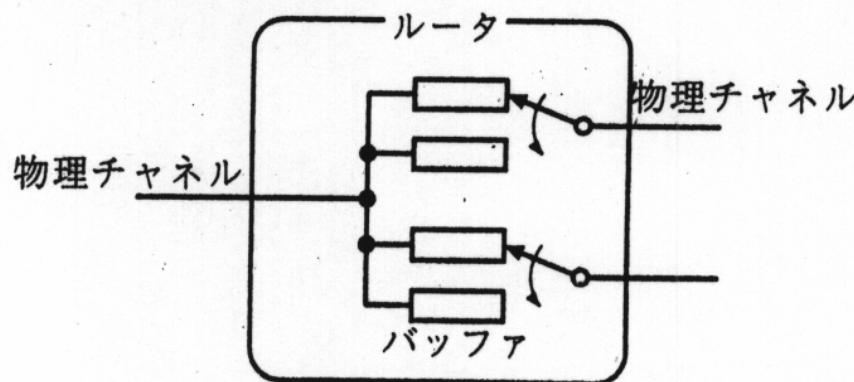




(a) 仮想チャネル



(b) チャネル依存グラフ



(c) ルータの構成

C_5 から C_8 ：上位リング

ルーティング方式：チャネル番号が増大する方向

プロセッサ 1 から 3 への通信： C_5 と C_6

プロセッサ 4 から 2 への通信： C_4 と C_5

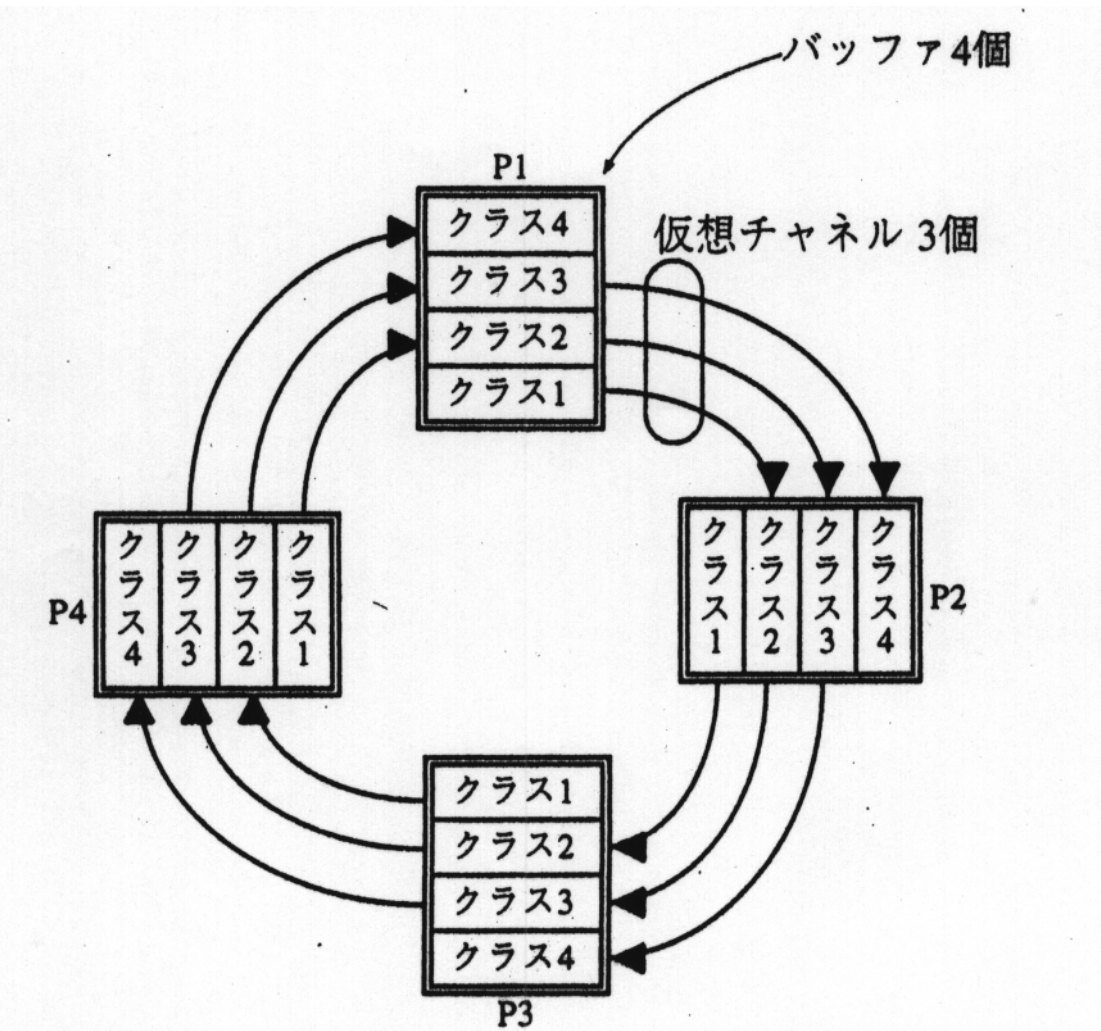
ルータ番号 m に到着したパケットの受信先番号 m

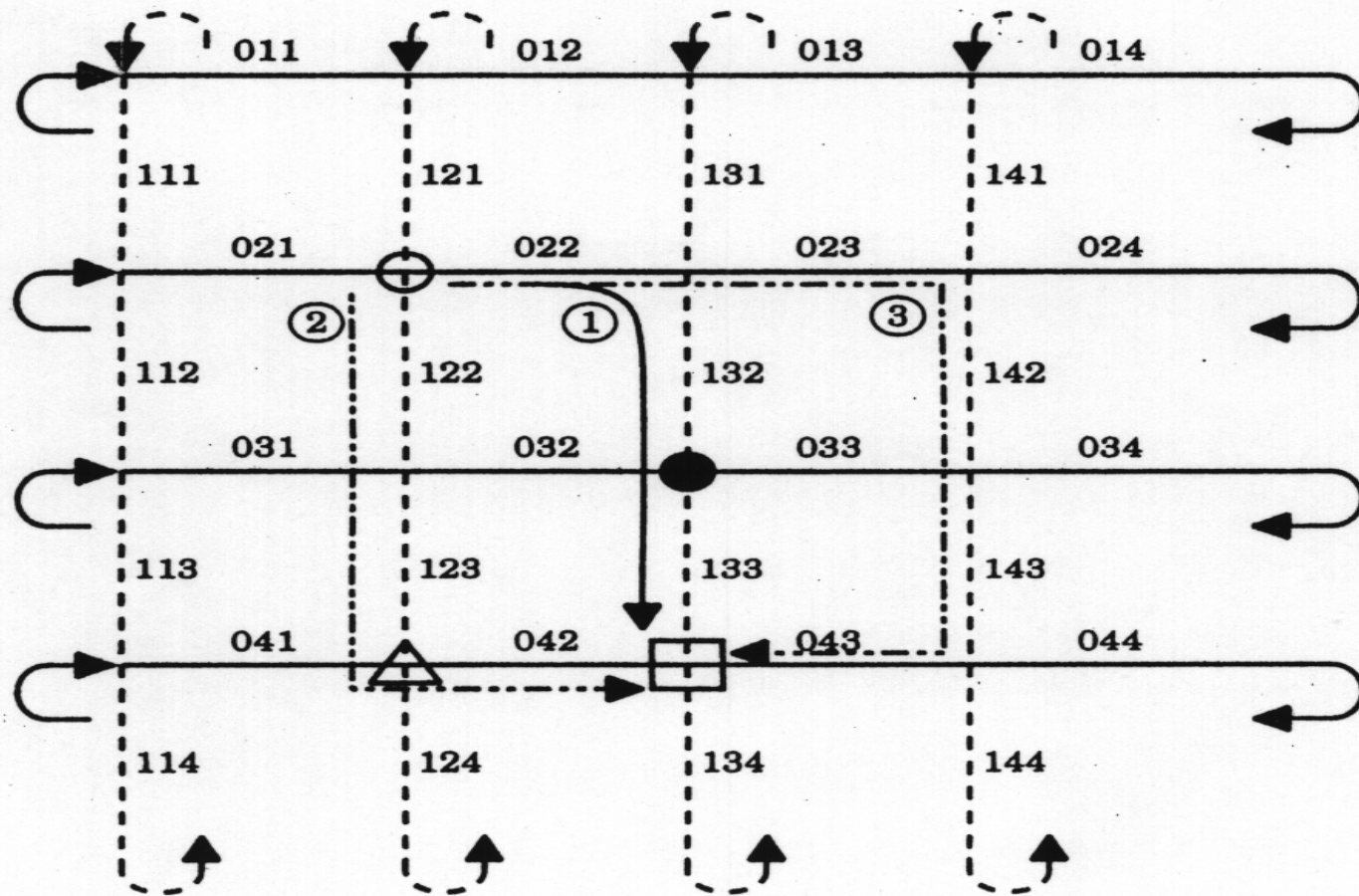
より小さいとき、下位リングを、

大きいときは上位リングを選択

(3) トーラス網、ハイパキューブ網でのデッドロック防止

次元順ルーティング





実線 : X方向

点線 : Y方向

① 次元順ルーティング

② 次元逆順ルーティング

③ : 迂回ルーティング

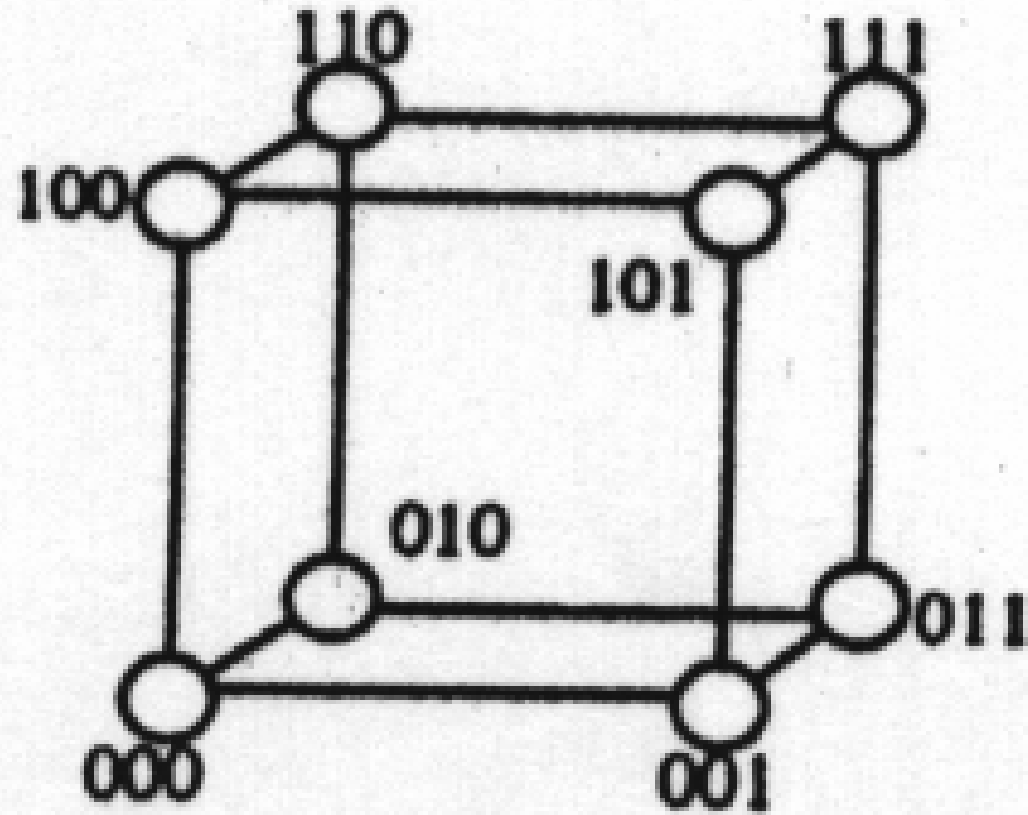
2次元トーラスの場合

ハイパーキューブの場合

次元順ルーティングでのデッドロック防止

すべてのチャネルに一意の番号付けができ、

昇順に従ったチャネル番号の獲得



(a) 2進 3-キューブ

2.3.4 動的ルーティング

次元順ルーティング

デッドロック防止が可能

ルーティングが固定方式

トラフィックの偏り、耐故障に弱い

デッドロックを生じない方式

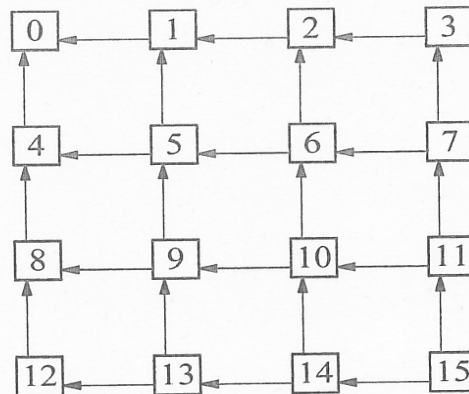
受信ノードに少なくとも辿り着く方式

(1) 仮想チャネルを使用した方法

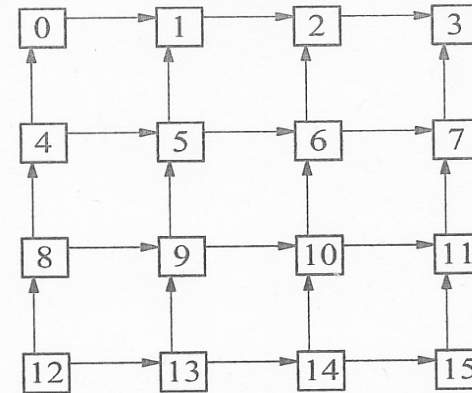
(a) シンプルな方法

0 15のとき: X+Y-ネット
10 0のとき: X-Y-ネット

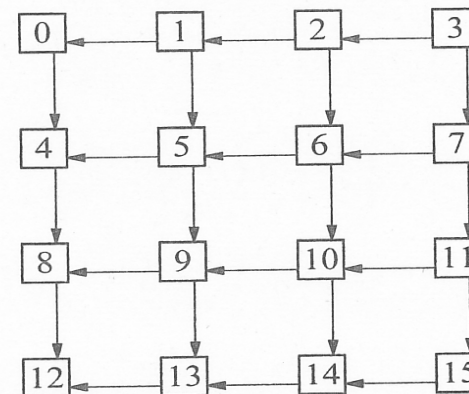
X-Y+ Virtual Network



X+Y+ Virtual Network



X-Y- Virtual Network



X+Y- Virtual Network

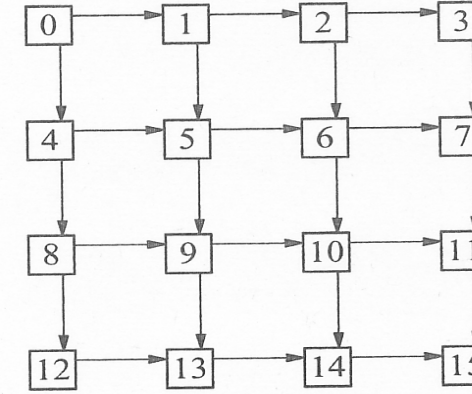


Figure 4.16. Virtual networks for a 2-D mesh.

(b) 逆次元順ルーティング

ルータ間のチャネル :

仮想チャネルによって r 多重

r 個のサブネットワークを構成 :

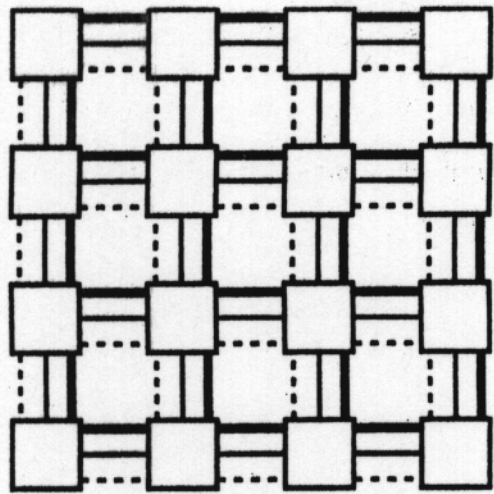
クラス i サブネットワーク

パケットにクラスフィールド C : 初期値を 0

パケット : クラス番号 C に対応した

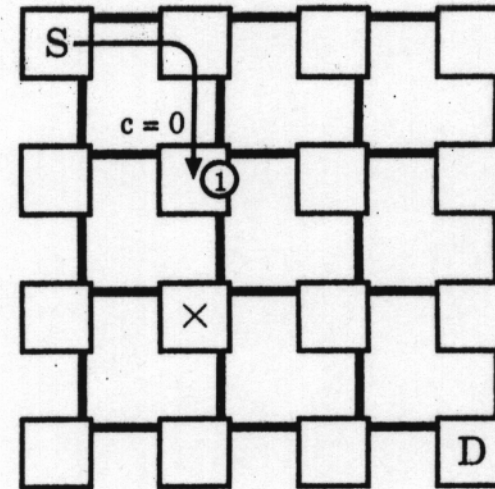
サブネットワーク内で任意の次元方向

(X 方向、 Y 方向) にルーティング
高位次元から低位次元ヘルーティングの切換え
が生じたとき(Y 方向後、 X 方向に切り替え)
C 値を + 1
C=r のとき以後はクラス r のサブネット
ワークで次元順

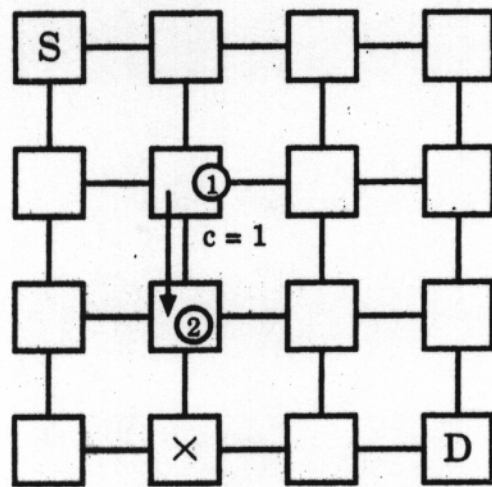


─ : バーチャルチャネル 0
 - - : バーチャルチャネル 1
 ... : バーチャルチャネル 2

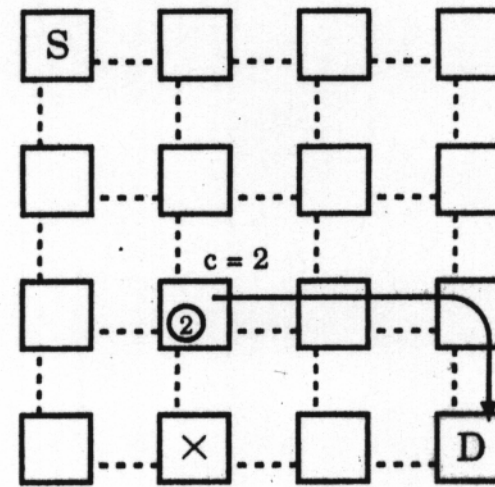
(a) バーチャルチャネル



(b) クラス 0 サブネットワーク



(c) クラス 1 サブネットワーク



(d) クラス 2 サブネットワーク

(2) BlueGene/Lの方式

Escape Ring: 単方向、次元順ルーティング、

外部からQueueに2つ空きの時:注入可能

デッドロックなし

内部からQueueに1つの空きの時:投入可能

Adaptive Ring: Queueが一杯の時, Escape Ringに注入

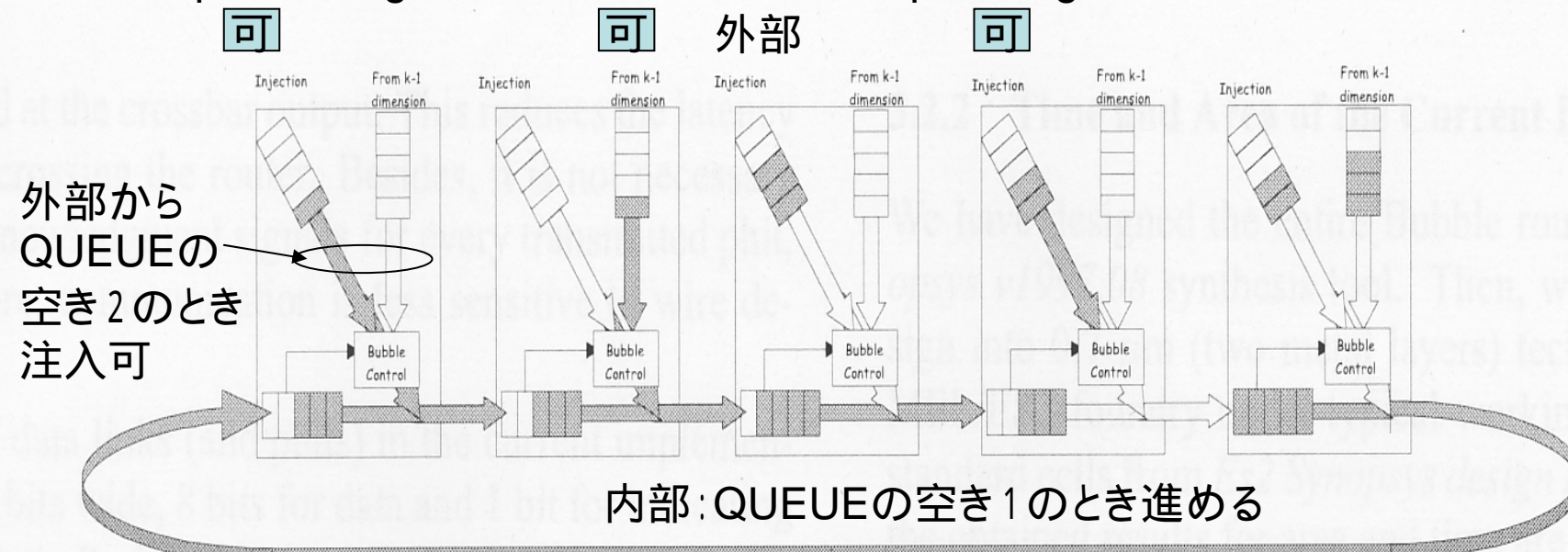


Figure 1. Deadlock avoidance in a ring by using Bubble Flow control.

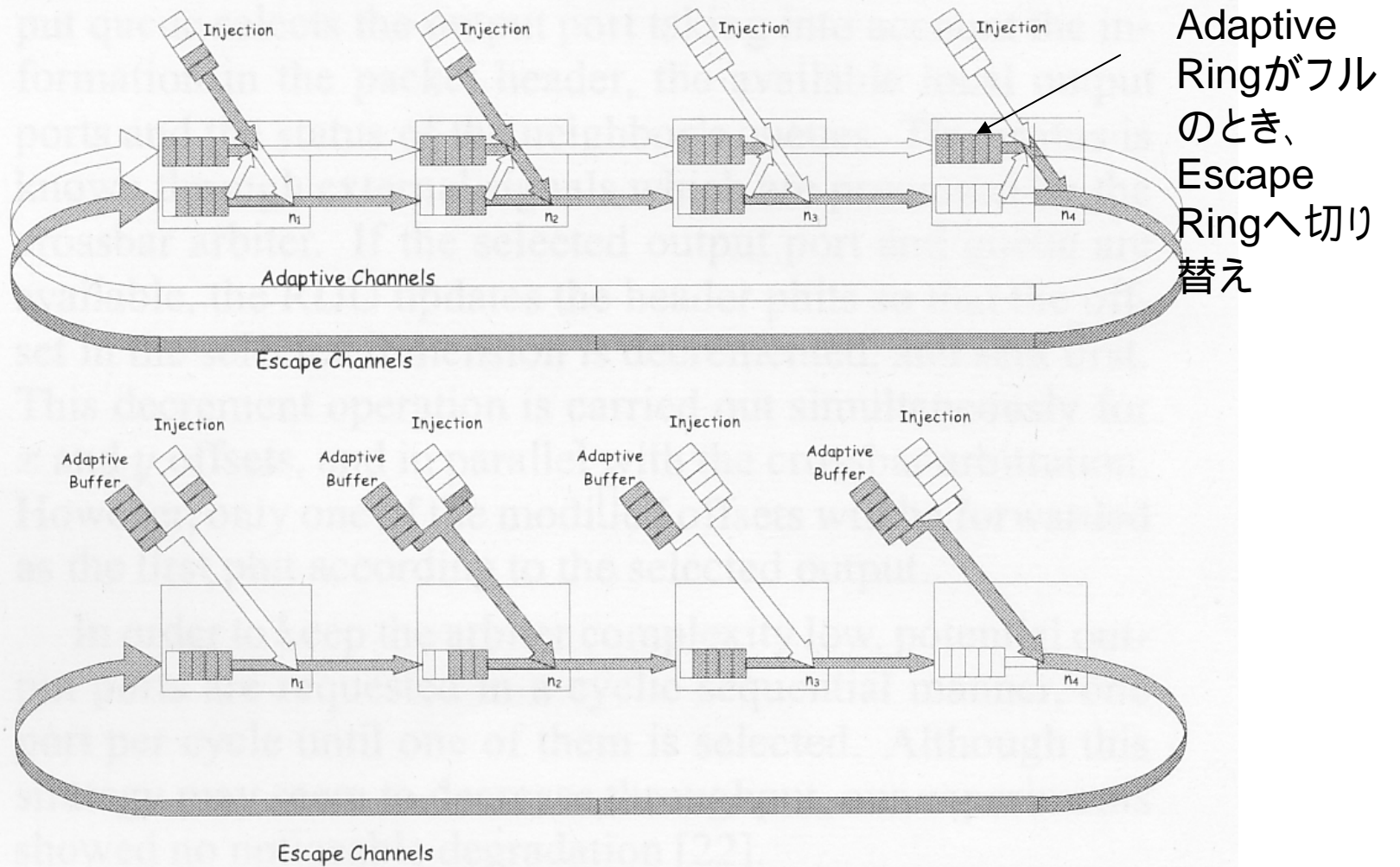
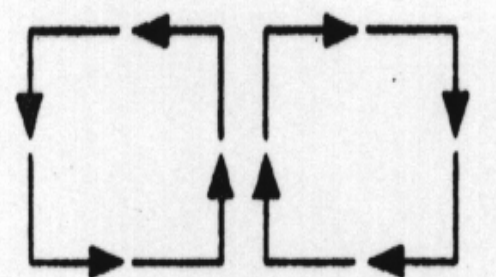


Figure 2. Representation of adaptive and escape queues when all adaptive ones are busy and equivalent network.

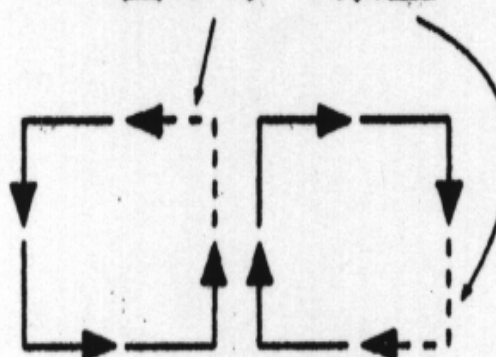
(4) 曲がり方向制限法 (turn model)

「西」への曲がりを禁止するルーティング法

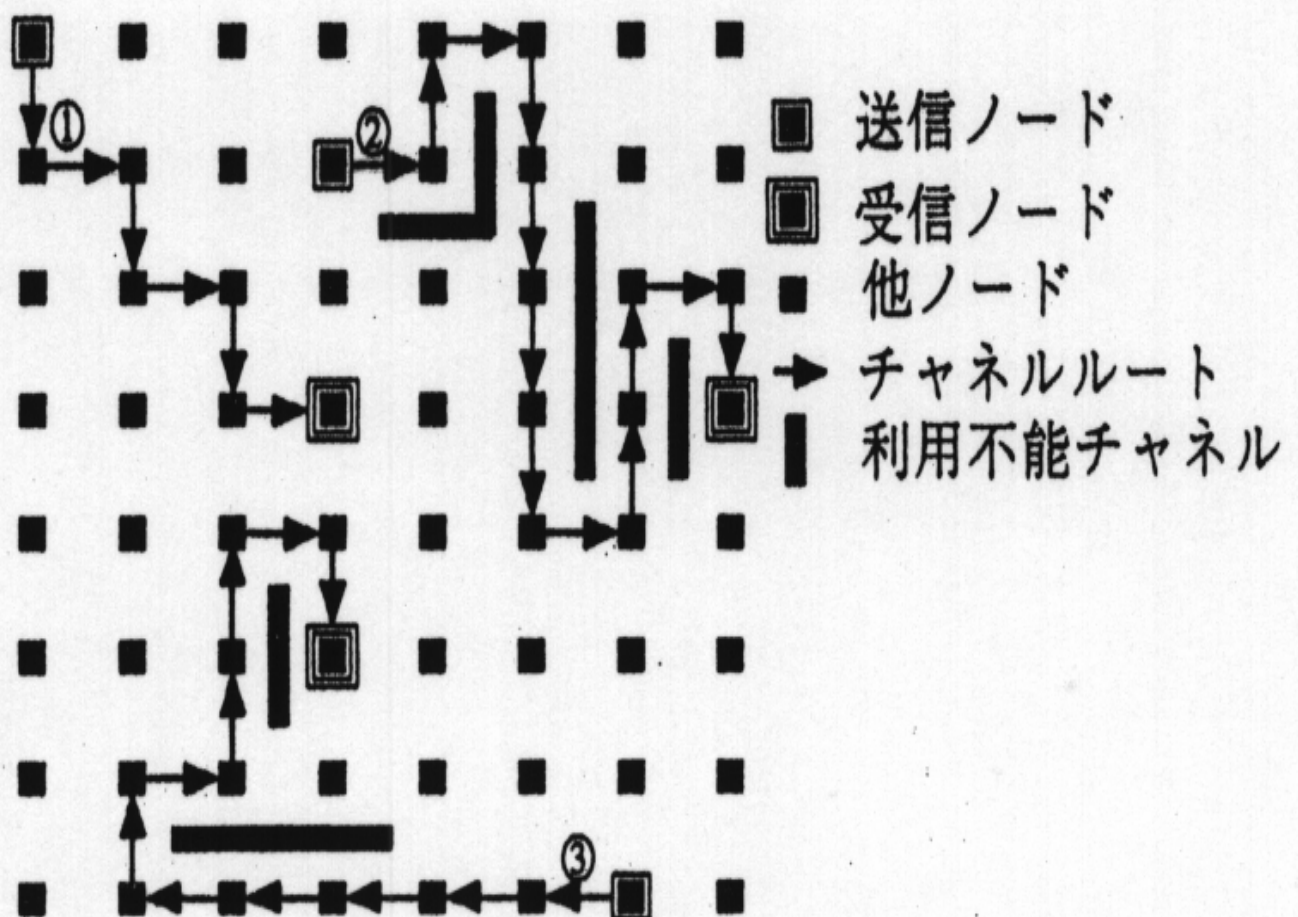


(a) サイクル形成

西方向への
曲がりの禁止



(b): サイクル除去



(c) ルーティング例

送信ノード

受信ノード

他ノード

チャネルルート

利用不能チャネル

2 . 4 動的網

2.4.1 クロスバグ網

集中制御方式

分散制御方式

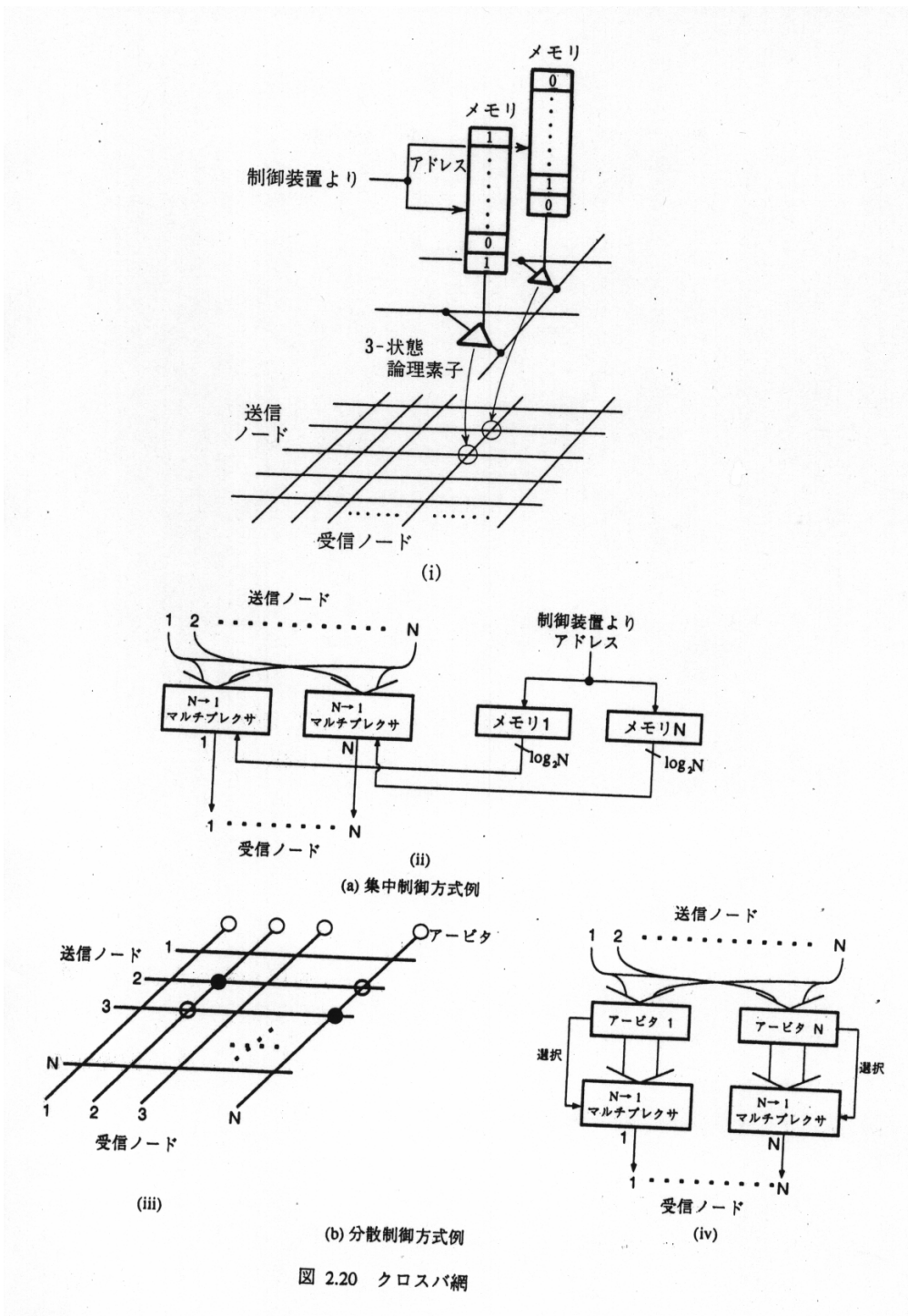
2.4.2 多段結合網

(1) 完全非閉塞網

通信パターン数 : $N!$

通信変更 : ローカルにスイッチ変更で対処可

クロスバグ網



3ステージClos網

⑥ $2n-1$ のとき非閉塞：存在定理

スイッチ数

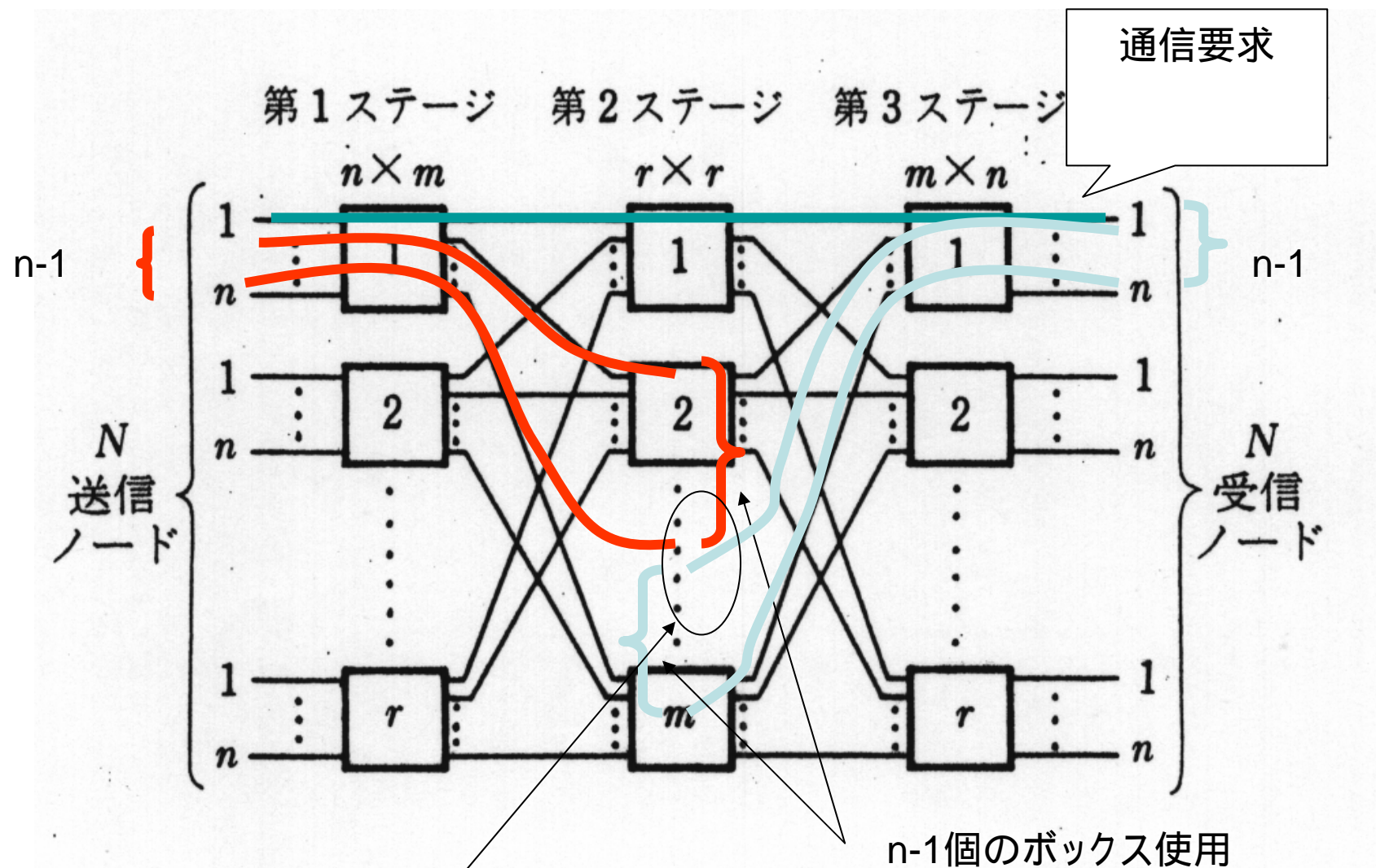
$$Ns = (2n-1) \{ (N/n)^2 + 2N \}$$

$$\text{Min}Ns = 4\sqrt{2}N^{3/2} - 4N$$

$N = 2 \ 5 \ 6$ の時

22146個 クロスバ：65536個

ルーティング困難



重なりなし！

(2) 再構成型非閉塞網

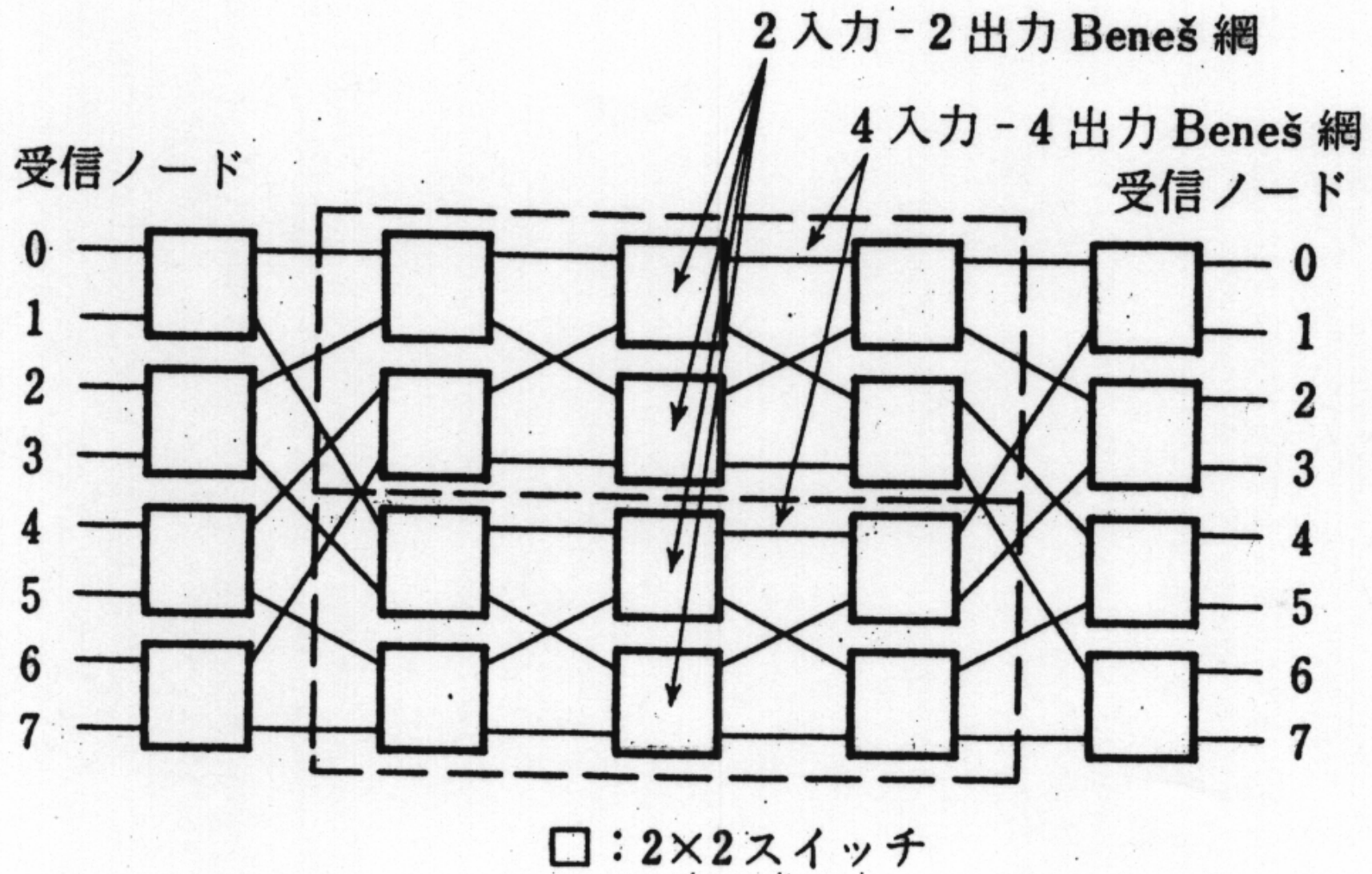
通信パターン数 : $N!$

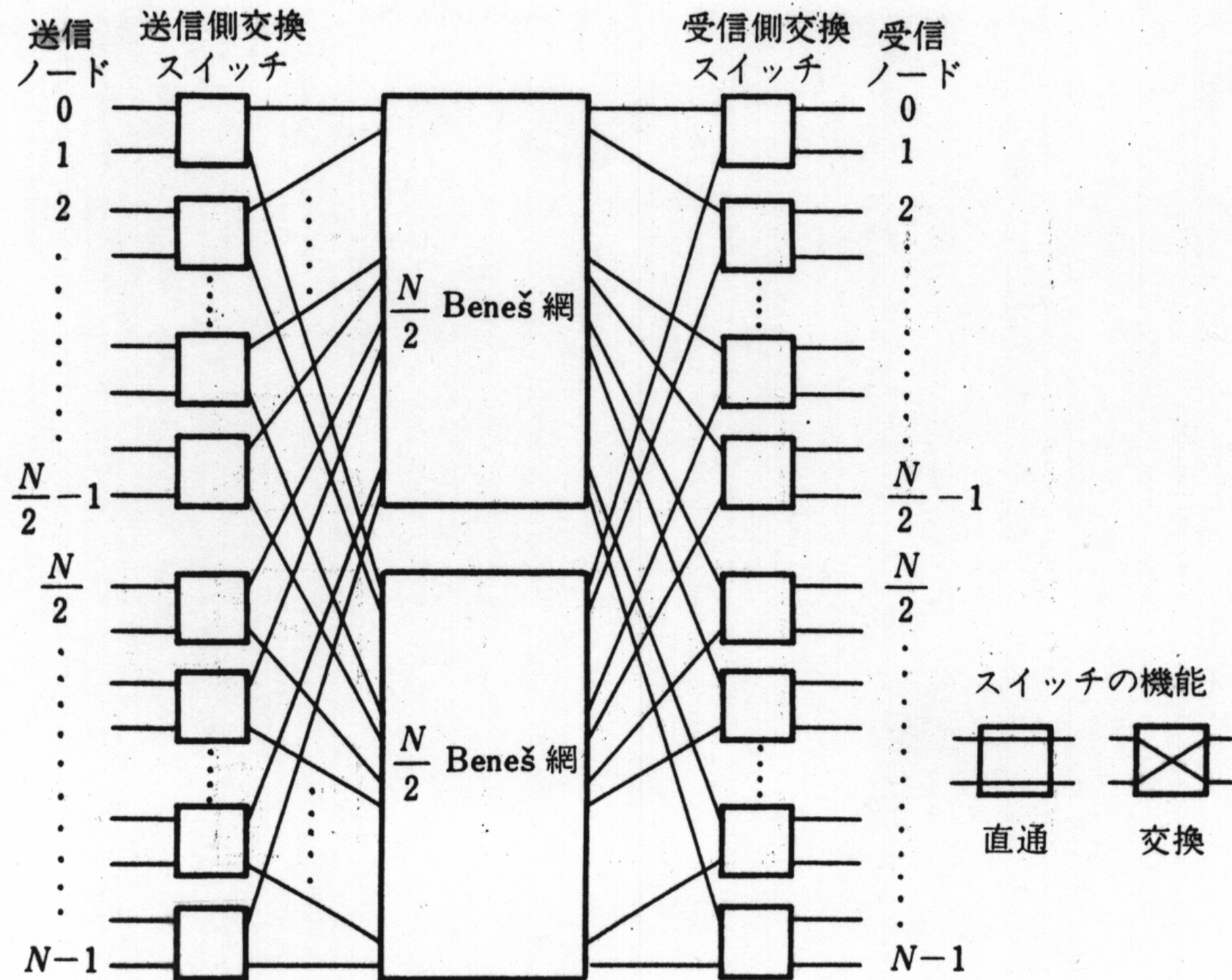
通信変更 : ローカルにスイッチ変更で対処不可

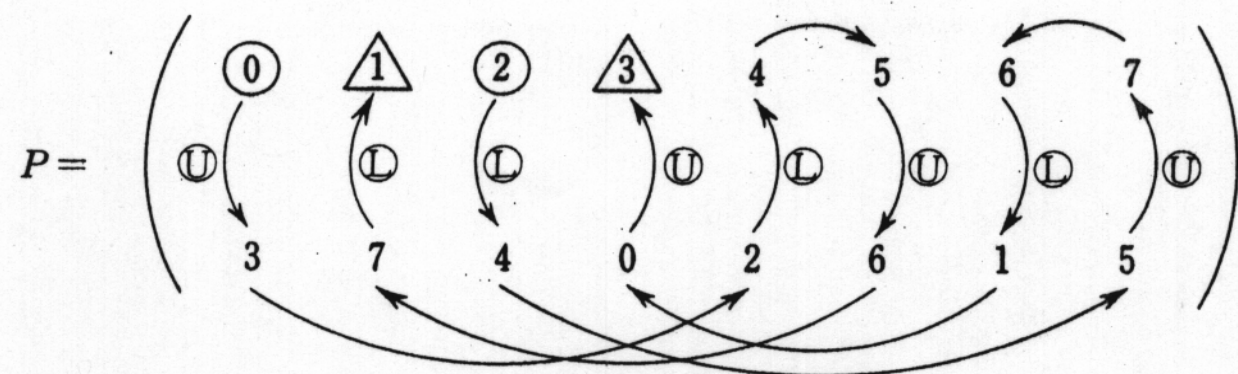
Benes網

送信ノード	0	1	2	3	4	5	6	7
受信ノード	3	7	4	0	2	6	1	5

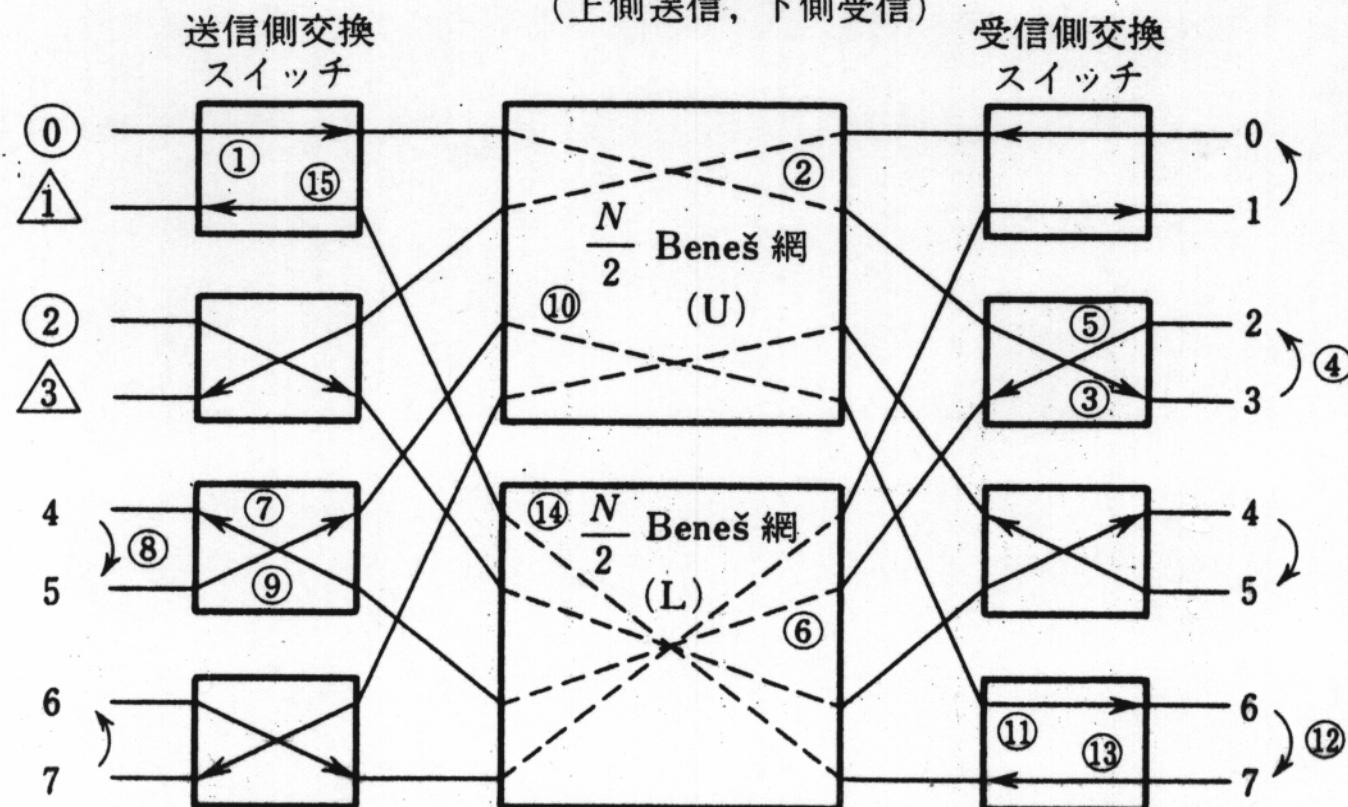
経路選択 : ルーピングアルゴリズム







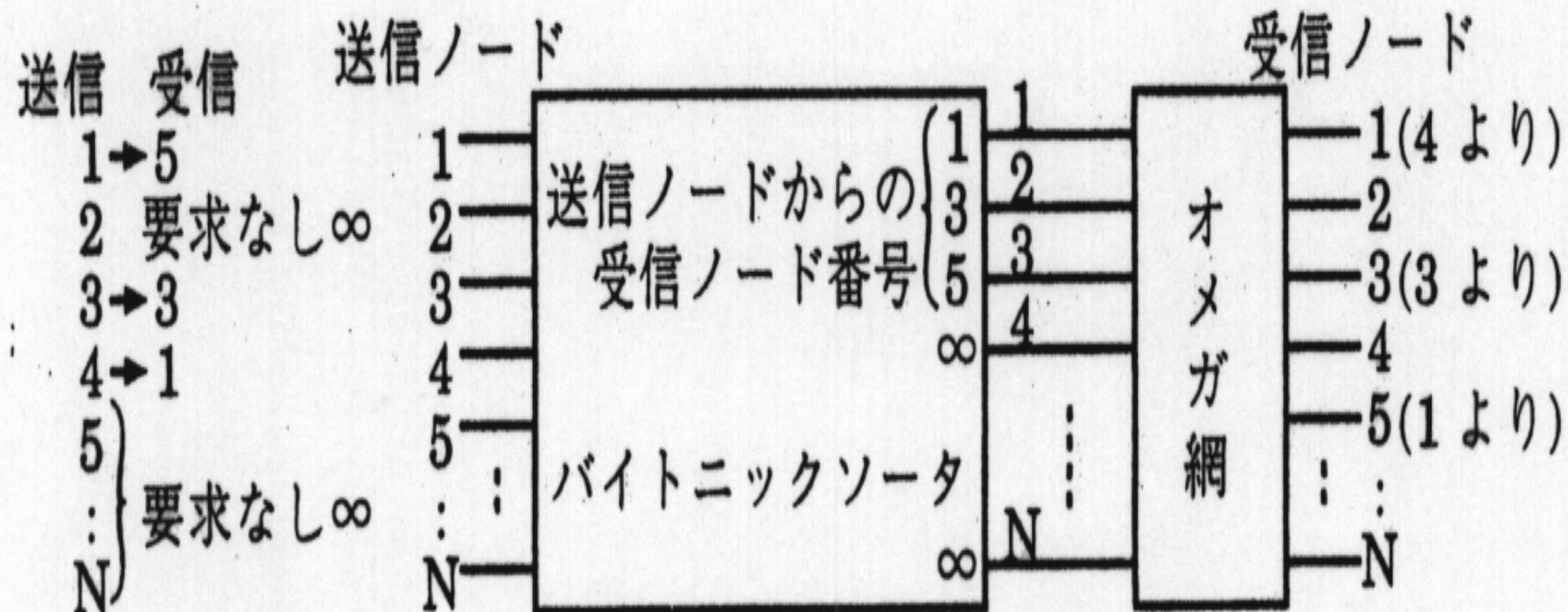
(a) 通信パターン
(上側送信, 下側受信)



(b) スイッチ設定例

バイトニックソータを用いた結合網

バイトニックソータ(図参照) + オメガ網



非閉塞の証明

$$(a_n, a_{n-1}, \dots, a_2, a_1) > (a^*_n, a^*_{n-1}, \dots, a^*_{2}, a^*_{1})$$

$$(b_n, b_{n-1}, \dots, b_2, b_1) > (b^*_n, b^*_{n-1}, \dots, b^*_{2}, b^*_{1}) \text{なら}$$

$$(a_i, a_{i-1}, \dots, a_2, a_1, b_n, b_{n-1}, \dots, b_{i+1})$$

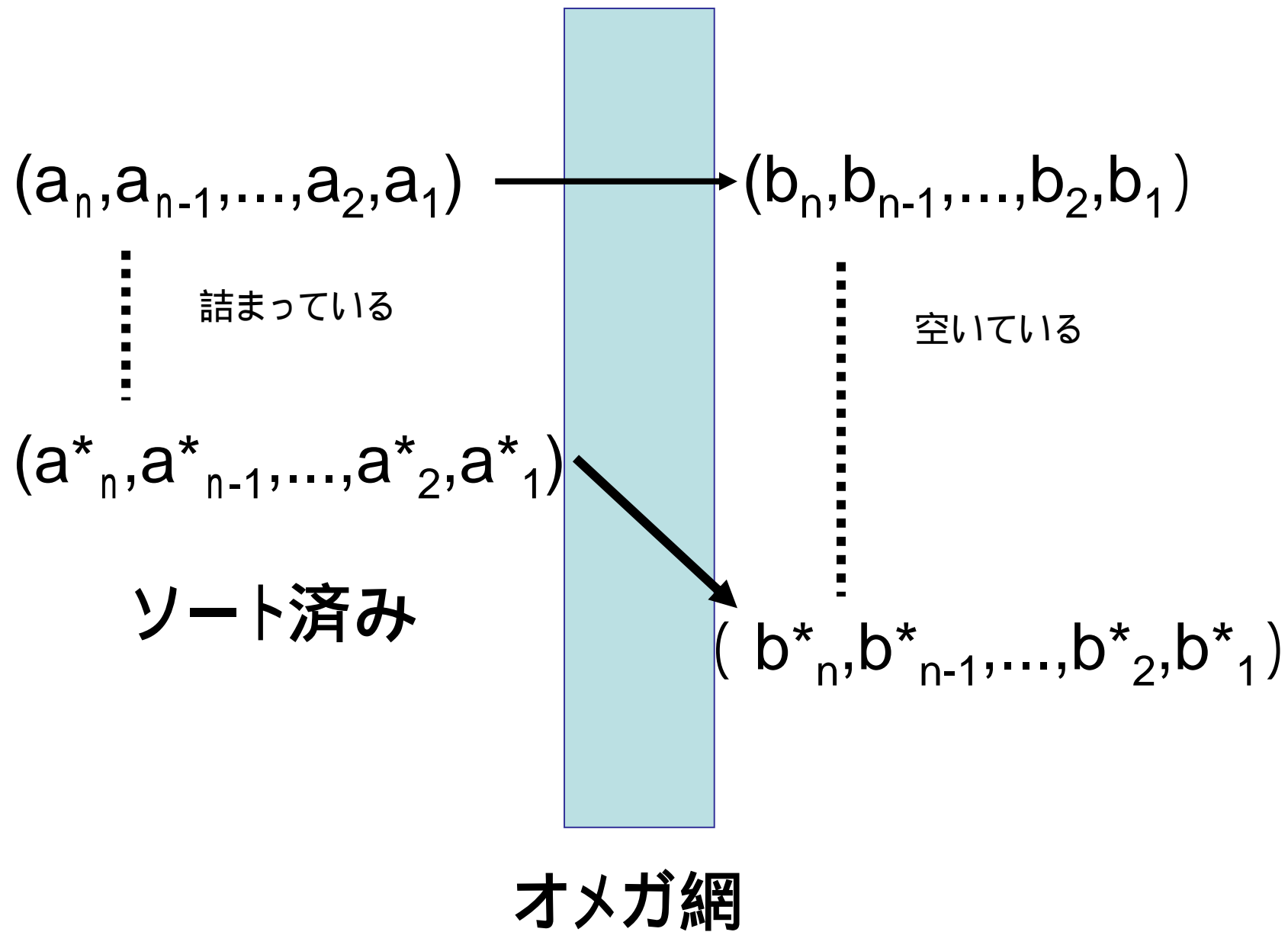
$(a^*_i, a^*_{i-1}, \dots, a^*_{2}, a^*_{1}, b^*_n, b^*_{n-1}, \dots, b^*_{i+1})$ の証明

$(a_i, a_{i-1}, \dots, a_2, a_1) = (a^*_i, a^*_{i-1}, \dots, a^*_{2}, a^*_{1})$ のとき

$$(b_n, b_{n-1}, \dots, b_2, b_1) - (b^*_n, b^*_{n-1}, \dots, b^*_{2}, b^*_{1})$$

$(a_n, a_{n-1}, \dots, a_2, a_1) - (a^*_n, a^*_{n-1}, \dots, a^*_{2}, a^*_{1}) = 2^i$ なので

$$(b_n, b_{n-1}, \dots, b_{i+1}) > (b^*_n, b^*_{n-1}, \dots, b^*_{i+1})$$



3ステージClos網

$2n-1 > m - n$: 再構成型非閉塞網

Hallの補助定理

A : 集合

$A_1, A_2, A_3, \dots, A_r$: 部分集合

「 $a_i \in A_i, a_j \in A_j$ ($i, j = 1, 2, \dots, r$) で $a_i \neq a_j$ なる

Aの要素が A_i, A_j に存在する」

「任意の k 個の和集合 $\cup_k A_i$ に少なくとも k 個の異なる要素が存在する」

Slepian Duguidの定理

入力ボックス I_i から繋がっている

出力ボックスの集合 K_i

K_i は出力ボックス 0 の部分集合

任意の k 個の部分集合の和 K_i の異なる

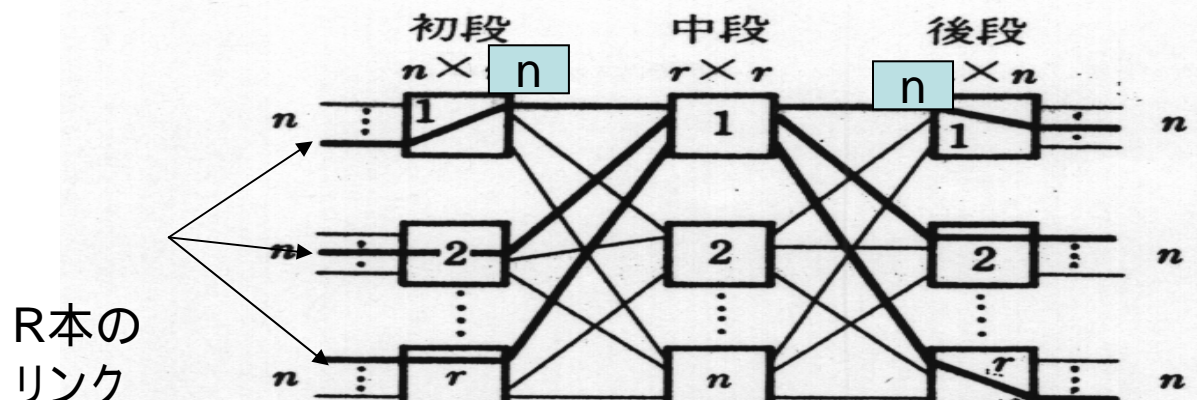
要素の数 t

n 個の入力ボックスへの入力線数 kn

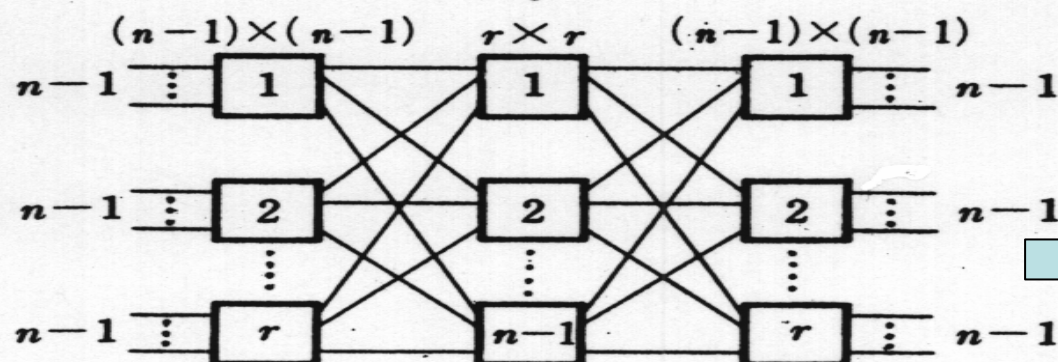
K_i の出力ボックスからの出力線数 tn

より $k \leq t$. Hall の補助定理より

各 K_i には異なる要素が存在する

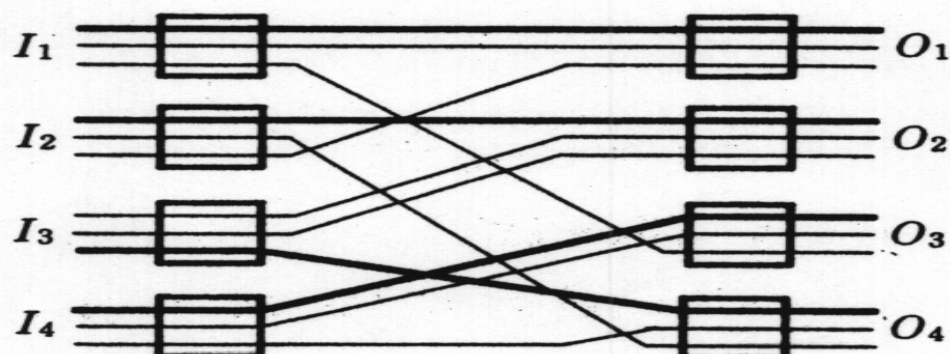
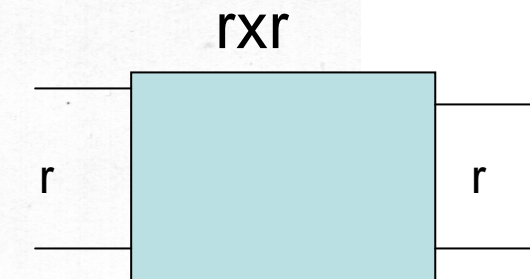


(a) $\nu(n, n, r)$



(b) $\nu(n-1, n-1, r)$

与えられた通信パターンに対して
初段、後段のスイッチボックスを
1つずつ使用する1本のリンクが
存在



(c) 証明のための例

$$\begin{aligned}K_1 &= (①, 3) \\K_2 &= (1, ②, 4) \\K_3 &= (2, ④) \\K_4 &= (③, 4)\end{aligned}$$

(3) 閉塞網

可能な通信パターン総数 : $N!$ の一部

$$(\sqrt{N})^N = 2^{(N \log N)/2}$$

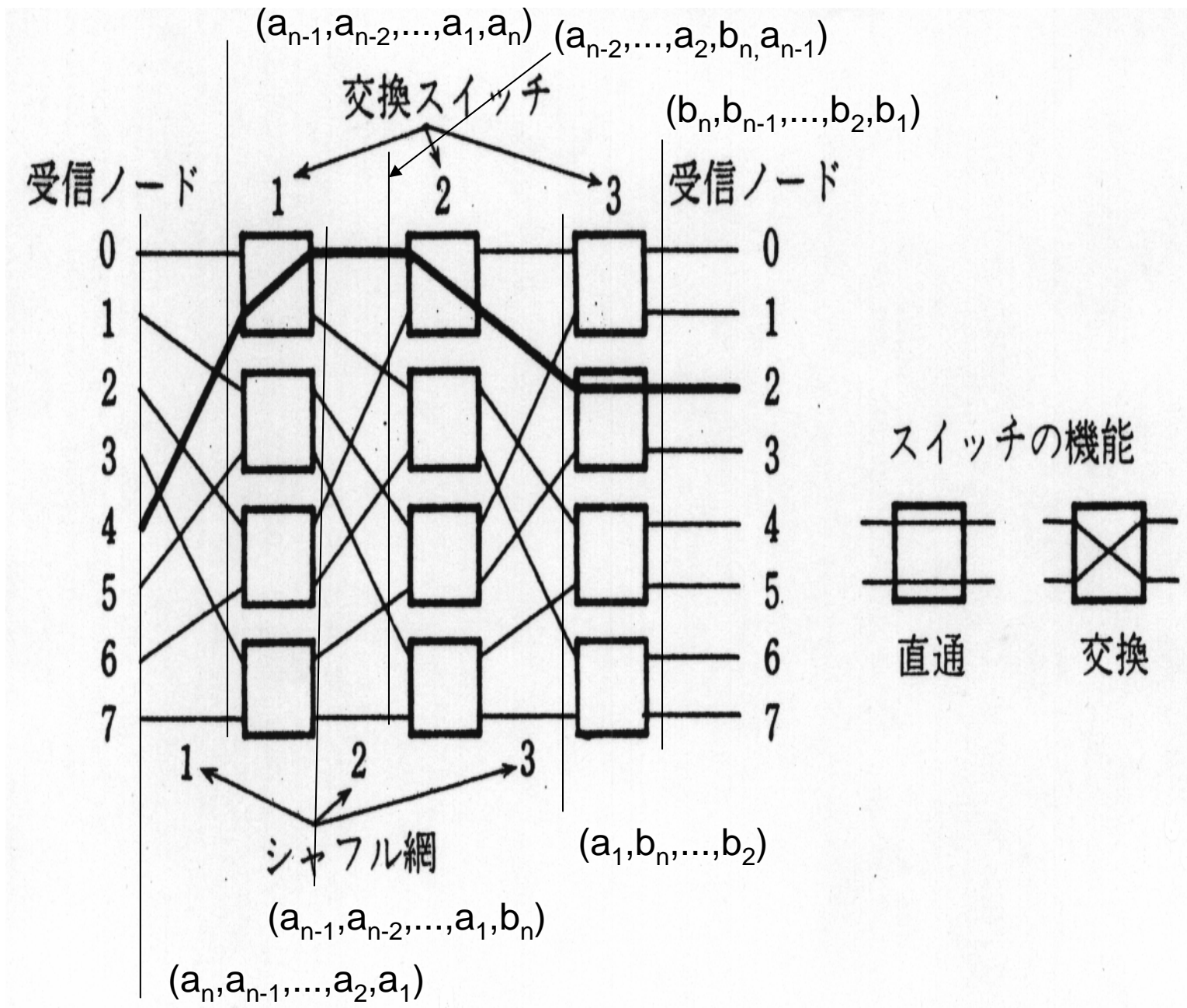
オメガ網

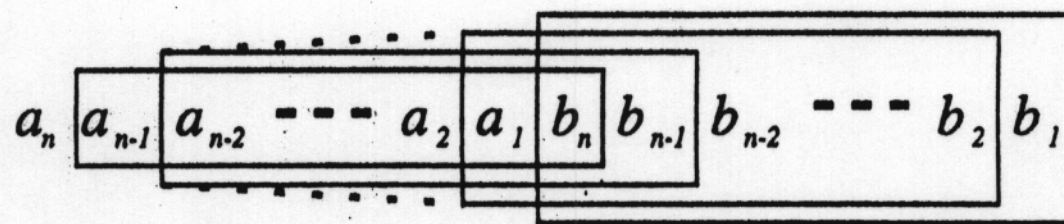
- ・ オメガ網の構成

$$\mathcal{E} = (e_1, i)$$

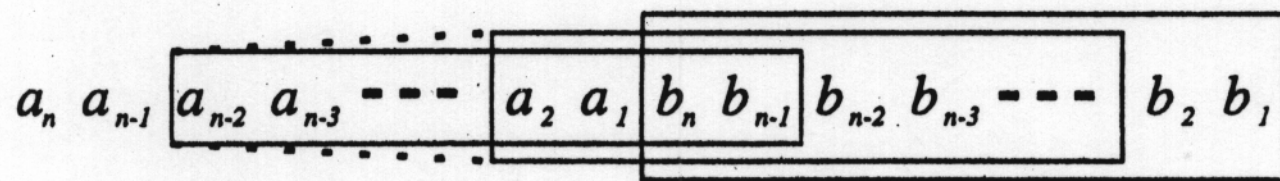
$$\Omega = (\sigma \mathcal{E})^n$$

- ・ オメガ網のスイッチ設定





(a) ウィンドウ (1ビット)



(b) ウィンドウ (2ビット)

送信ノード($a_n, a_{n-1}, \dots, a_2, a_1$)

受信ノード($b_n, b_{n-1}, \dots, b_2, b_1$)

最初のシャフル：

送信ノード($a_n, a_{n-1}, \dots, a_2, a_1$)は

($a_{n-1}, a_{n-2}, \dots, a_2, a_n$)に対応

最初の交換スイッチ：

$a_n \oplus b_n = 0$ であれば、直通側

$a_n \oplus b_n = 1$ であれば、交換側

最初の交換スイッチの出力

送信ノード($a_n, a_{n-1}, \dots, a_2, a_1$)は

$(a_{n-1}, a_{n-2}, \dots, a_2, b_n)$

第2段のシャフル

$(a_{n-2}, a_{n-3}, \dots, a_2, b_n, a_{n-1})$

第2段の交換スイッチ：

$a_{n-1} \oplus b_{n-1} = 0$ のとき、直通

$a_{n-1} \oplus b_{n-1} = 1$ のとき、交換

第2段交換スイッチの出力

送信ノード $(a_n, a_{n-1}, \dots, a_2, a_1)$

$(a_{n-2}, a_{n-3}, \dots, a_2, b_n, b_{n-1})$ に対応

交換スイッチ

$b_i=0$ なら、上方リンク選択

$b_i=1$ なら、下方リンク選択

ウィンドウ表現

BxBスイッチの利用

$$B=2^b$$

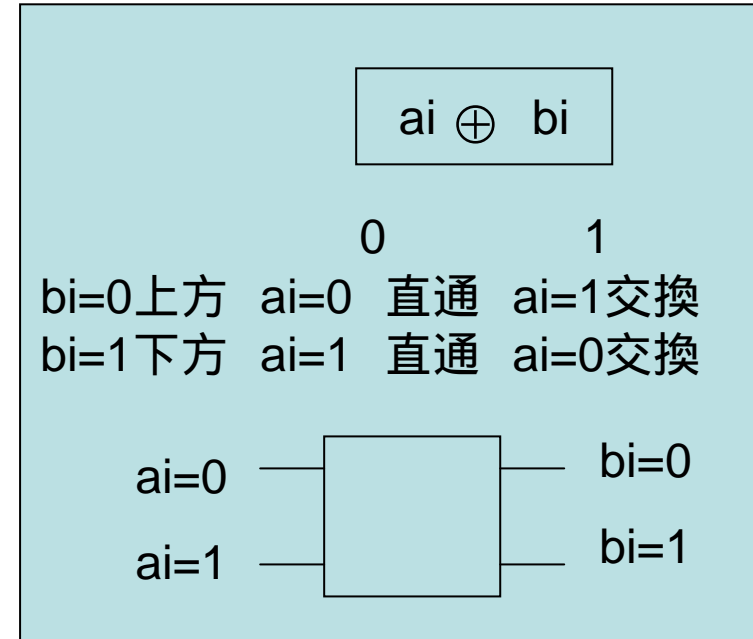
$$N=B^k$$

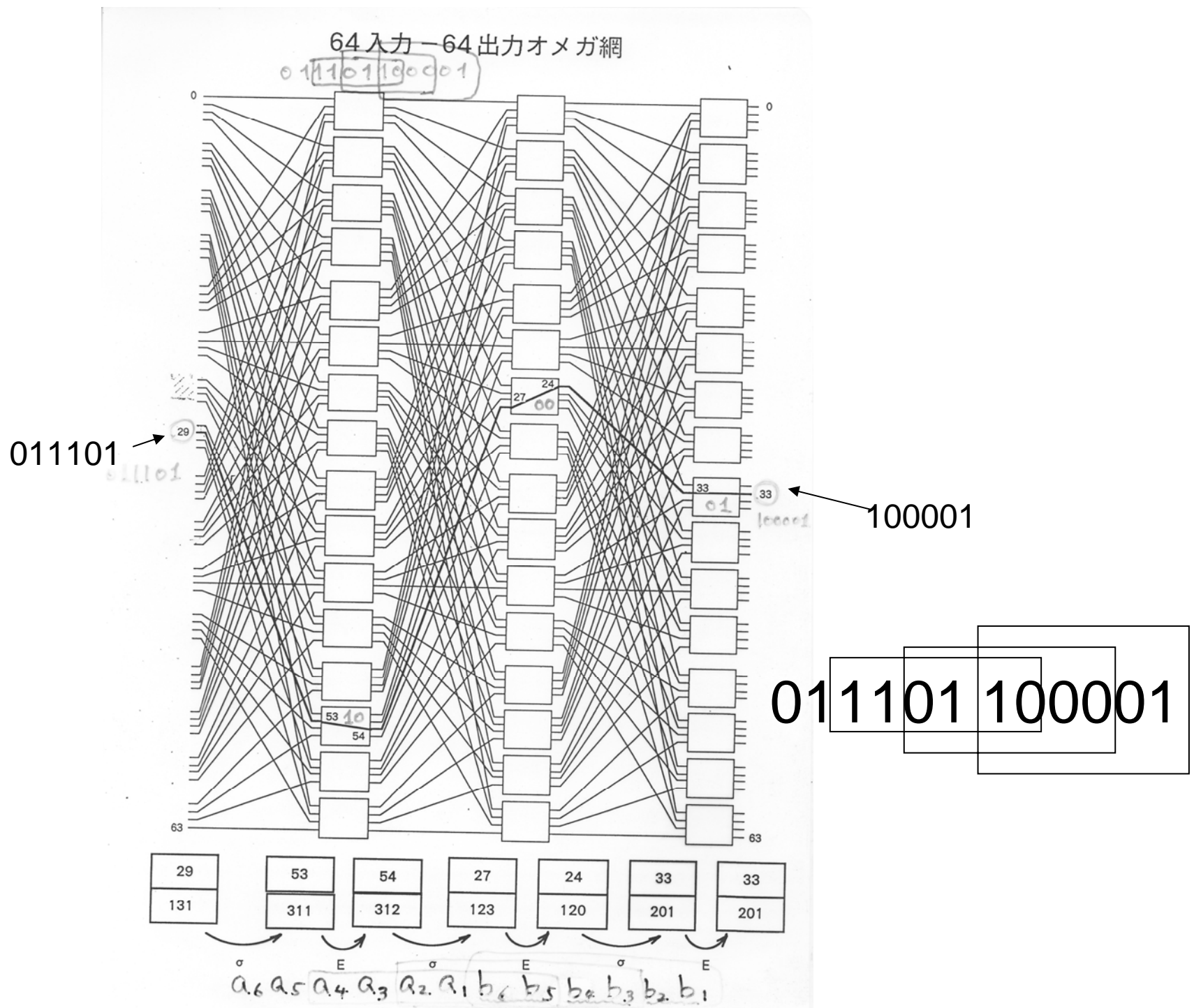
BxBのスイッチ k 段のオメガ網

2ビットシャフル、

$$(a_n, a_{n-1}, \dots, a_2, a_1)$$

$$(a_{n-2}, a_{n-3}, \dots, a_2, a_1, a_n, a_{n-1})$$





間接 2 進 n - キューブ

$$C = E\beta_2E\beta_3, \dots, E\beta_nE\sigma^{-1}$$

バンヤン (Banyan) 網

$$Y = E\beta_2E\beta_3, \dots, E\beta_nE$$

ベースライン (baseline) 網

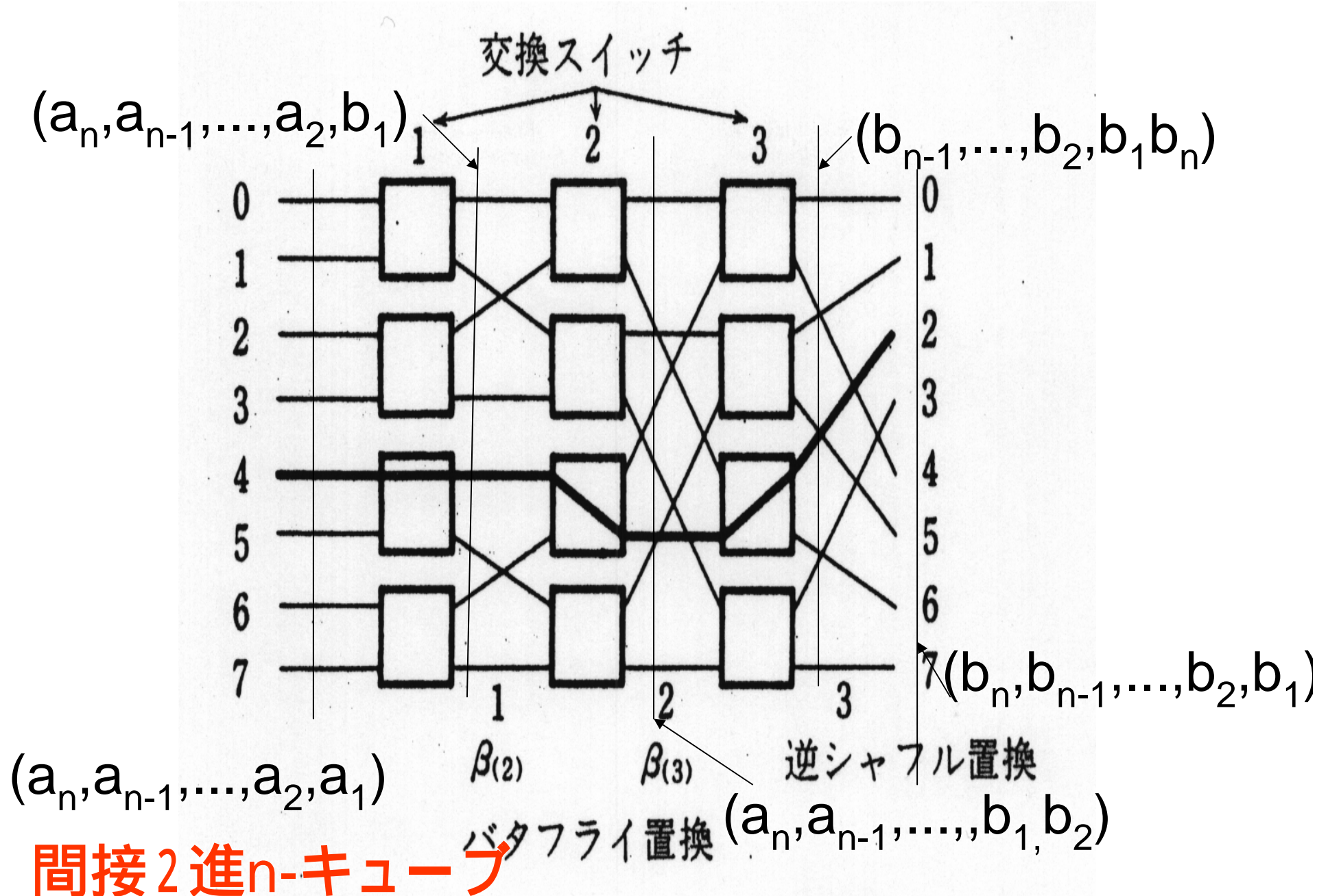
$$B = E\sigma_n^{-1}E\sigma_{n-1}^{-1}, \dots, E\sigma_2^{-1}E$$

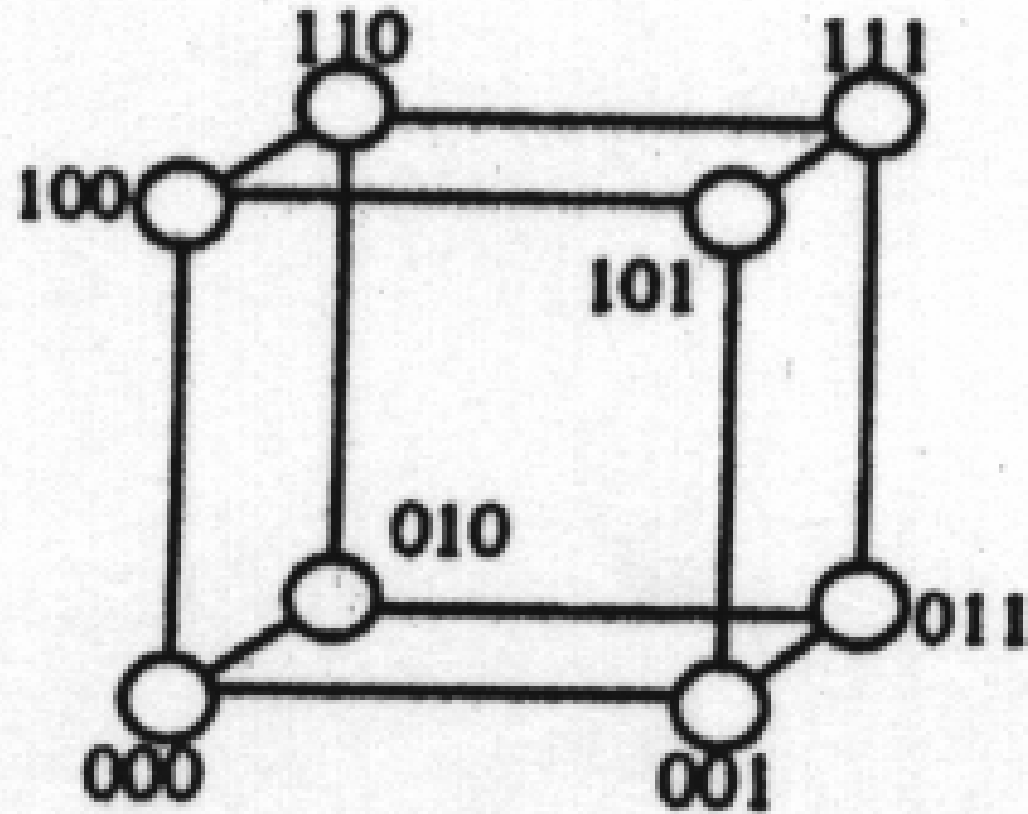
閉塞網間の関係

オメガ網 ()、間接 2 進 n キューブ網 (C) ,

バンヤン網 (Y)

$$\Omega^{-1} = C = Y\sigma$$





(a) 2進 3-キューブ

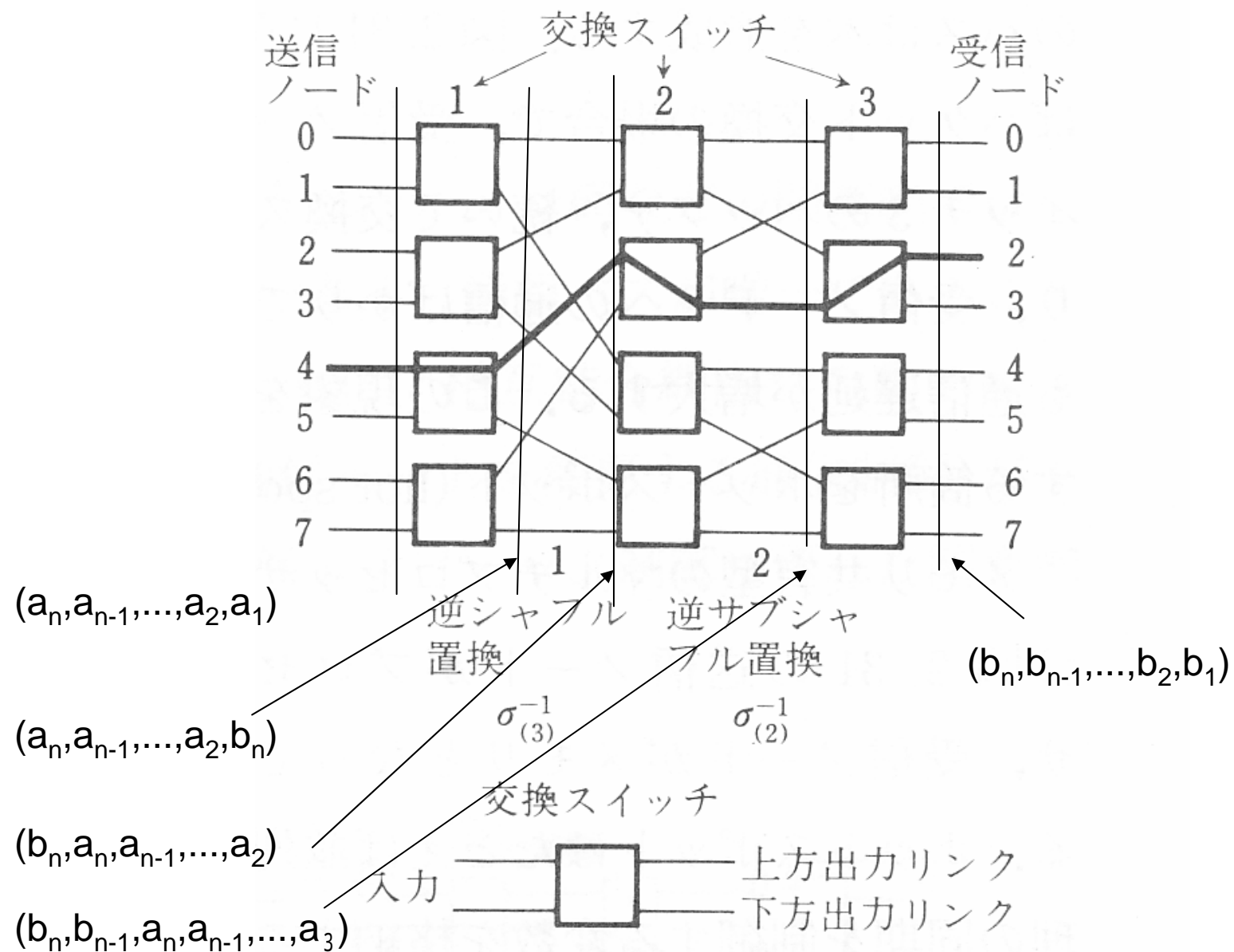
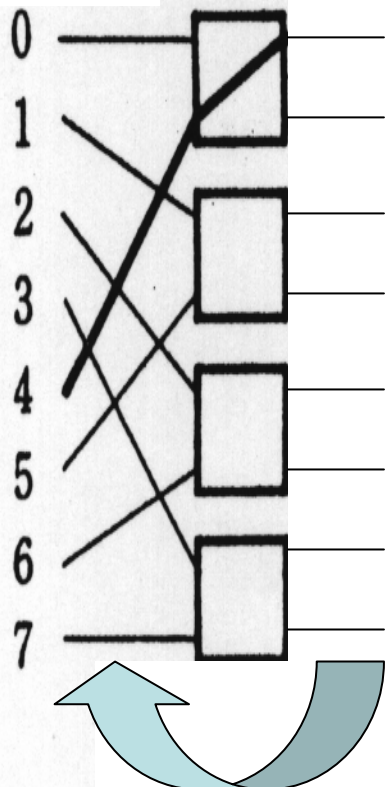


図 2.30 ベースライン網

單一段結合網

シャフル



單一段シャフルネットワーク

2 . 5 多段結合網の通信 制御と耐故障設計

2.5.1 木飽和と結合操作

例 ベクトル処理

プロセッサ $P_0, \dots P_7$:

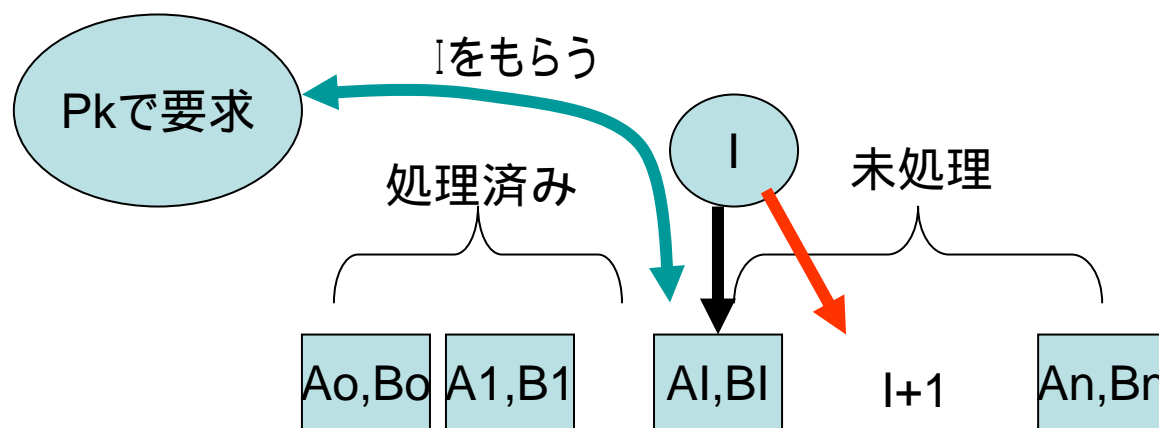
$A(I) + B(I)$

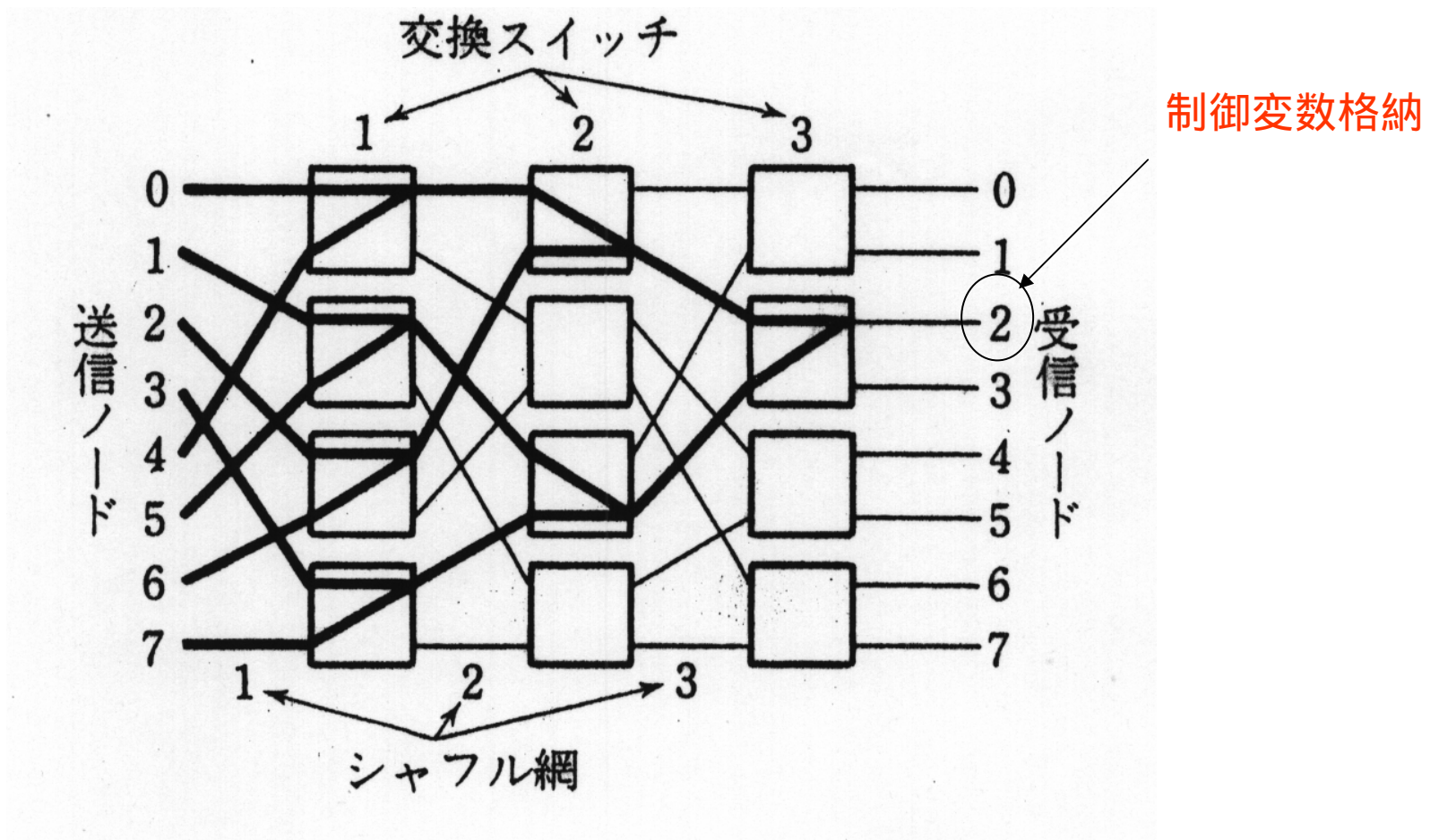
I を獲得し, $+ 1$

共有変数 I : ホットスポット

Fetch and Add 命令

あるスイッチで 2 つの要求





F&A 1 F&A 1 -> F & A2
10 11 I=10 12
コンバイング

2.5.2 耐障壁構造

送信側に付加ステージを追加する方式

各ステージ内にループ構造を導入する方式

大きなクロスバスイッチを用いる方式

クロスバスイッチの大きさ : $B \times B$ ($B=2^b$)、

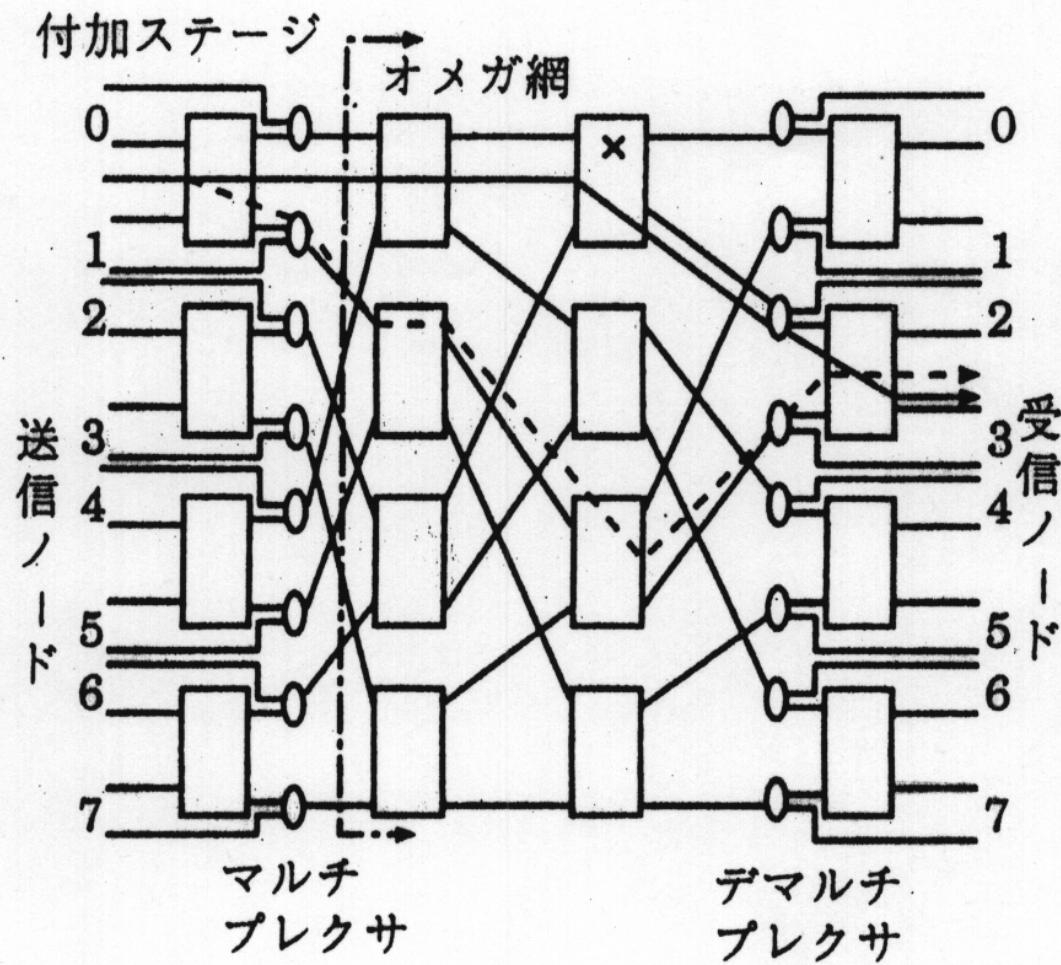
ノード数 $N (=2^n)$

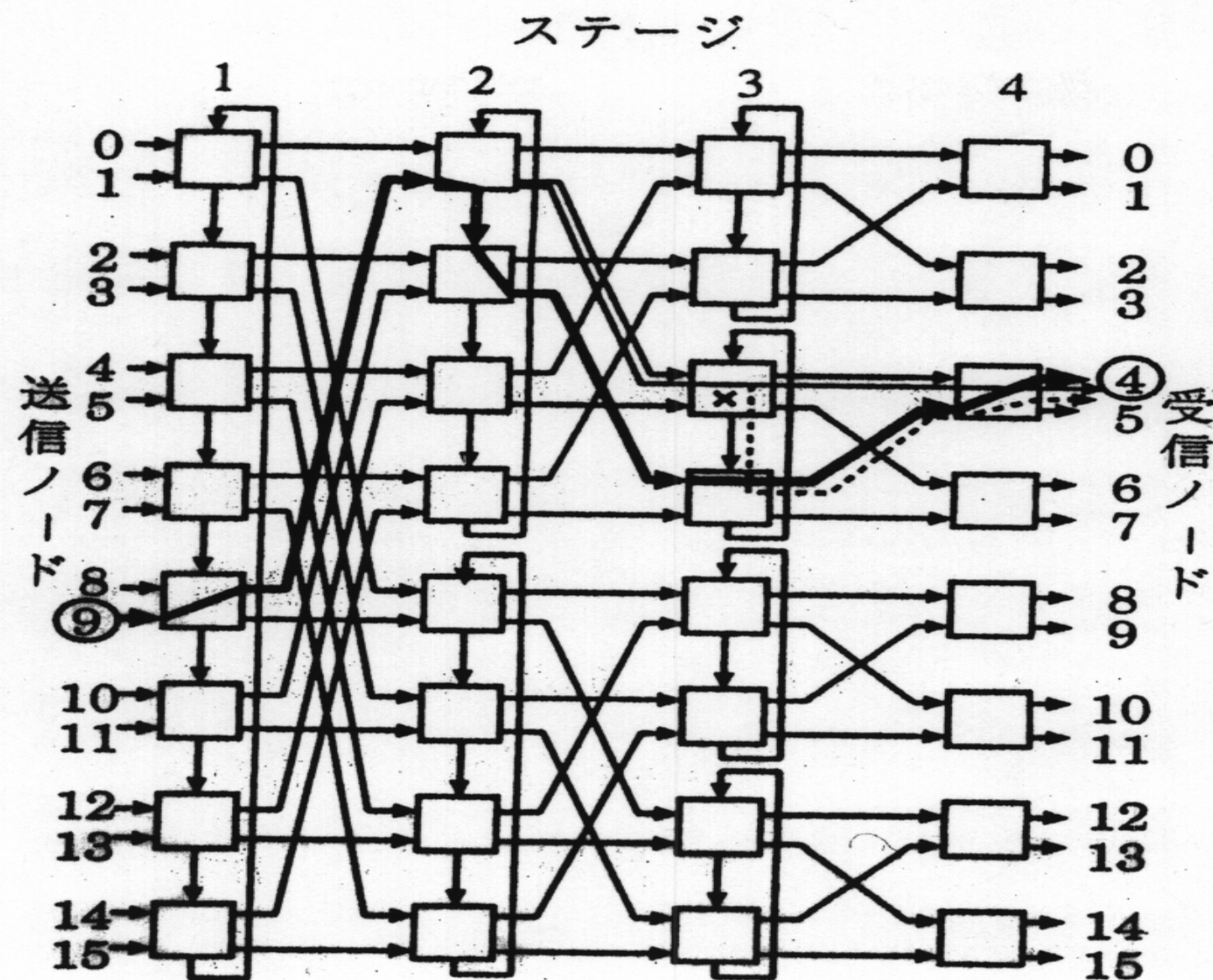
R - パス可能な $\lceil \log_B N \rceil$ 段の

マルチパスオメガ網

$$R = B^{\lceil n/b \rceil} - n/b$$

$$N = 2^n = B^k \text{ のとき, } R = 1$$





(1 - パスオメガ網)

k の設定

$$2^{b(k-1)} < N < 2^{bk}$$

$$k = \lceil \log_B N \rceil = \lceil n/b \rceil$$

kb-n個の*

$$a_n a_{n-1} \cdots a_{n-b} \cdots a_{n-2b} \cdots a_1 * * * * b_n b_{n-1} \cdots b_2 b_1$$

長さ n ビットのウィンドウ : b ビット毎、 k 個

$$kb-n < b$$

最終ステージ以外のウィンドウ :

kb-n個の*印をすべて含む。

$$R = 2^{kb-n} = B^{\lceil n/b \rceil - n/b}$$

$N=32, B=4$ の 3 ステージのオメガ網

ノード 8 から 12 への通信

ウィンドウ 01000 * 01100

* = 0 の時

各ステージでの受信ノード番号

00000、00011、01100

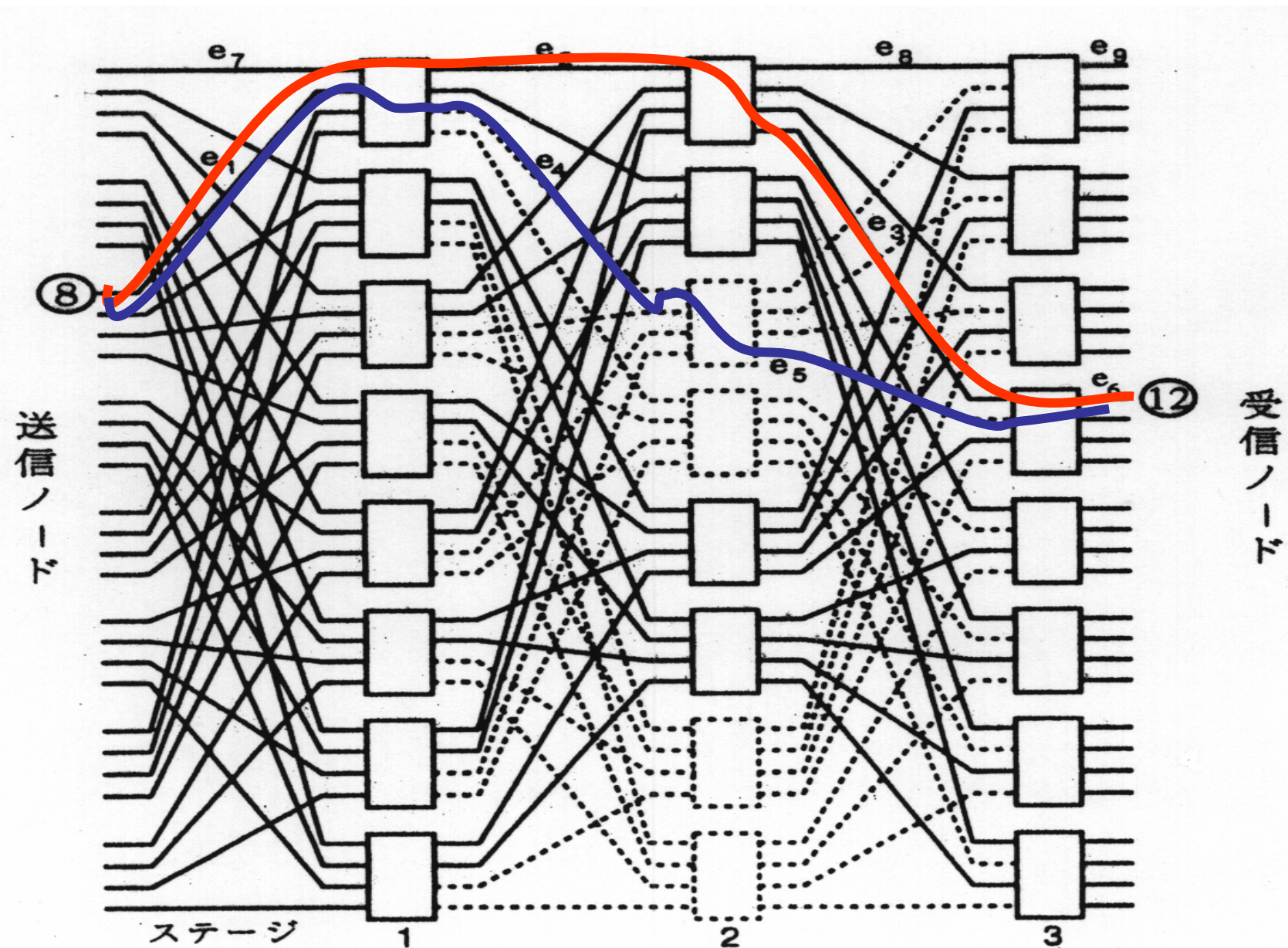
経路 e_1, e_2, e_3, e_6

* = 1 の時

各ステージでの受信ノード番号

00010、01011、01100

経路 e_1, e_4, e_5, e_6



2.5.3負荷分散網

1.6 可変構造型

相互結合網

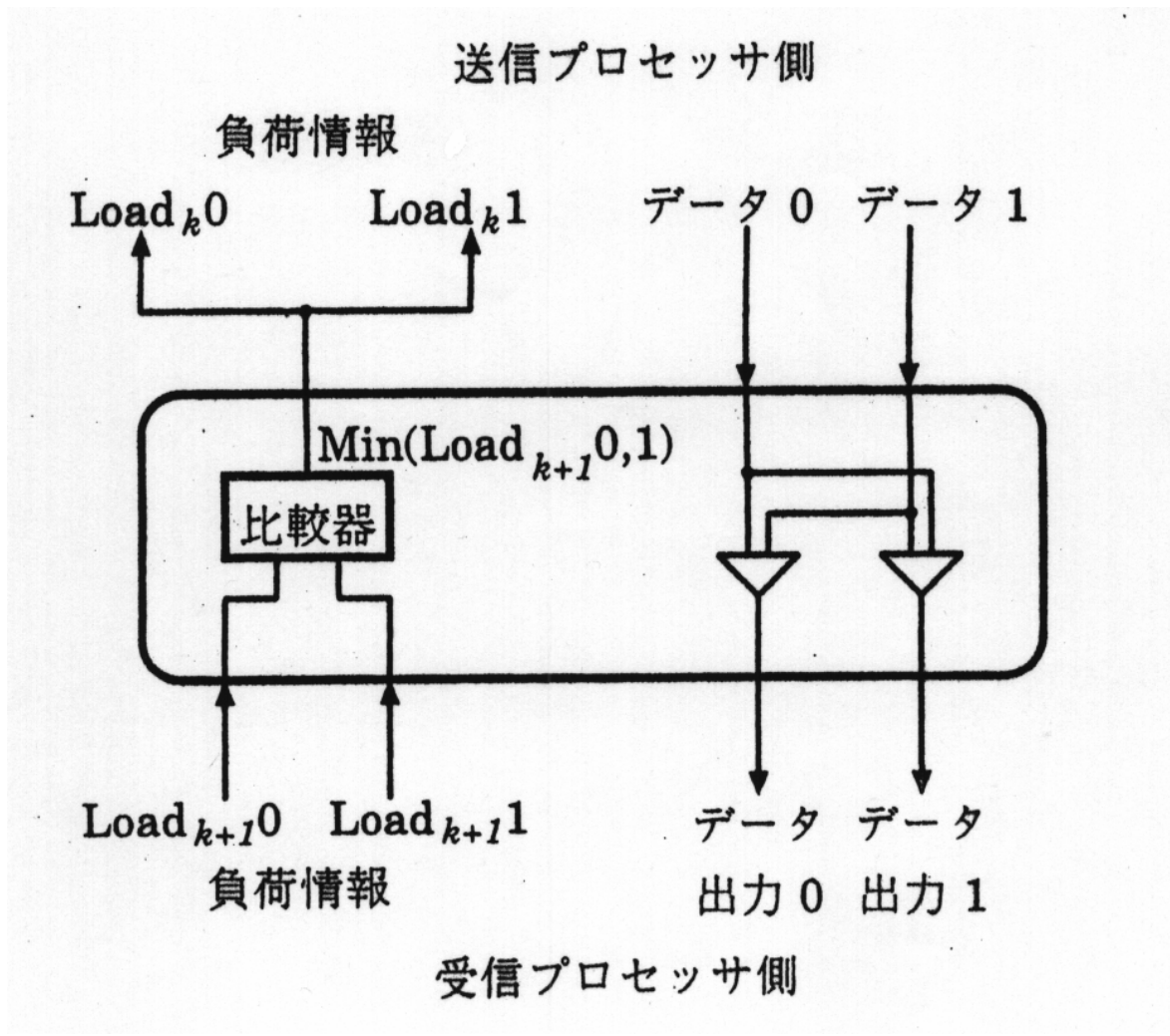
機械的可変構造

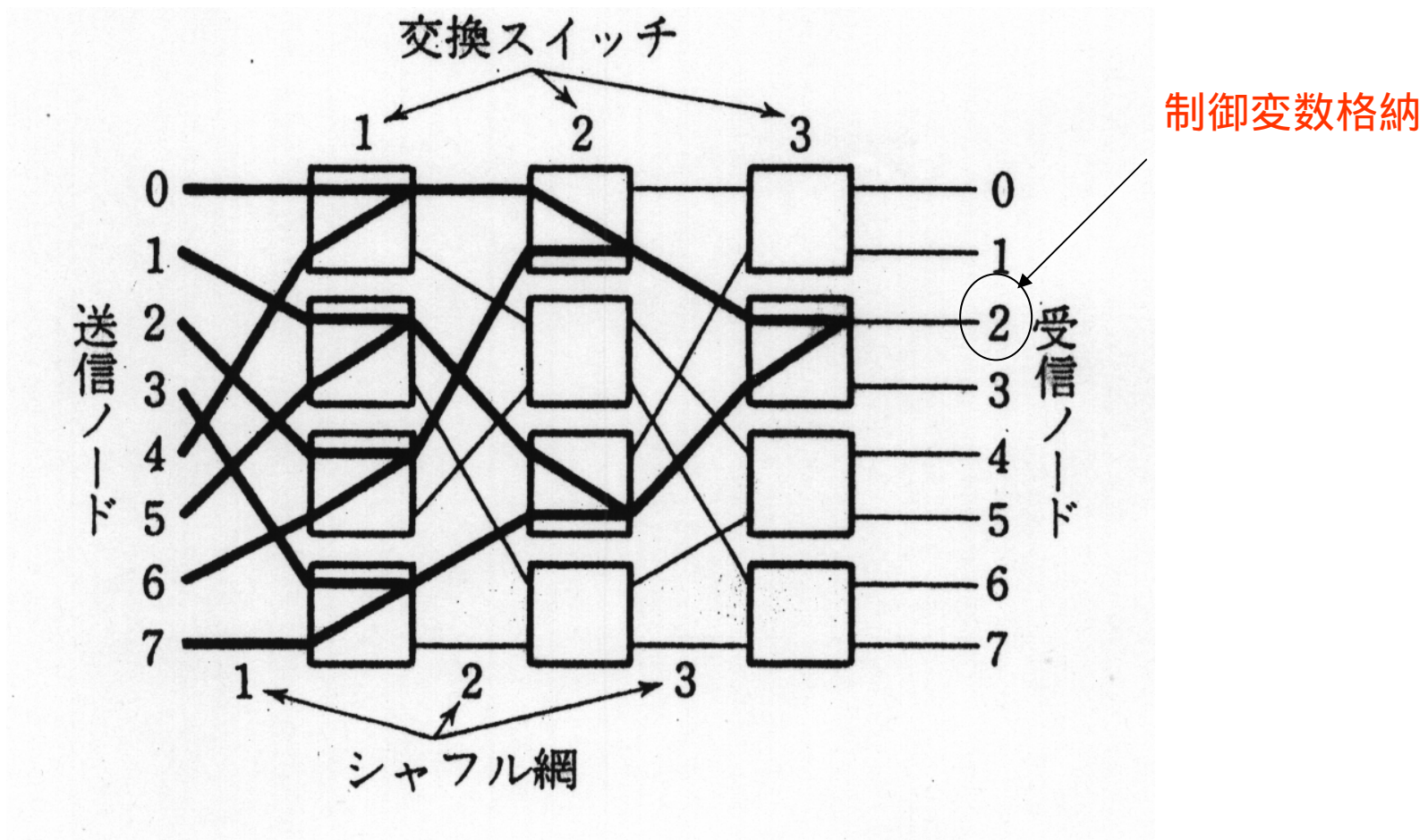
可変トーラス網

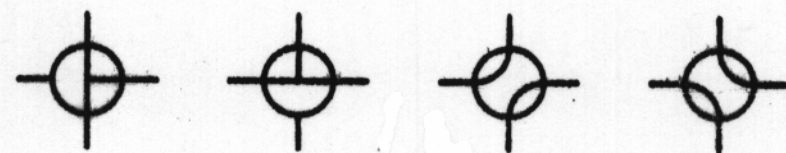
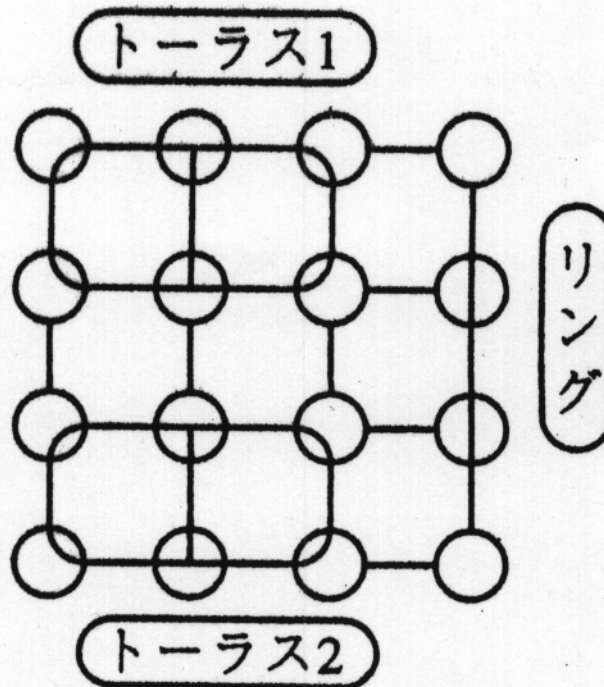
多重クロスバ網

高速網シミュレーション

動的リンク形成







スイッチ内での結合

